

Дипломна робота: 44 с., рис. 5, табл. 1, джерел 10, додатків 1.

**Об'єкт дослідження:** рух космічного апарату та його електризація елементарними частинками плазми.

**Мета роботи:** розробка програмного забезпечення для моделювання електризації тіл в космічному просторі, а також обчислення значень потенціалів, що будуть накопичуватися на цих тілах або їх частинах.

**Одержані висновки та їх новизна:** розроблено програму, яка моделює рух частинок плазми в околиці космічного апарату, зіткнення цих частинок з апаратом, його електризацію. Новизна полягає у використанні при моделюванні такого процесу статистичного методу Монте-Карло, тобто параметри моделі задаються випадковими величинами, за розподілом наближеними до реальних величин – це дозволяє говорити про відповідність отриманих результатів параметрам справжньої системи.

**Результати дослідження можуть бути застосовані** при конструюванні космічних апаратів; також розроблена база може бути використана при розробці схожих моделей.

**Перелік ключових слів:** ШТУЧНИЙ СУПУТНИК, КОСМІЧНИЙ АПАРАТ, ЕЛЕКТРИЗАЦІЯ, КОСМІЧНА ПЛАЗМА, МЕТОД МОНТЕ-КАРЛО, МОДЕЛЮВАННЯ, ЕЛЕМЕНТАРНІ ЧАСТИНКИ.

## Annotation

The graduation research of the 4-year student Vsevolod Kulaga (DNU, Applied Mathematics Department, the Computer Technology Chair) deals with the development of software for calculation of spacecrafts electrification using the statistical Monte-Carlo method.

The developed software reads models of the spacecrafts from the file (many popular file formats for 3D models are supported), performs simulation of the motion of elementary particles and processes their collision with the spacecraft. At that time program also calculates the total charge and potential that appears on the spacecrafts surface. The process of modeling is visualized using the OpenGL library.

The software is developed for researching of spacecrafts electrification process to reduce its negative effects in future.

The work is interesting for spacecrafts designers and programmers who deal with similar tasks.

Bibliography 10, pictures 5, tables 1, supplement.

# Зміст

<b>Вступ</b>	<b>7</b>
<b>Постановка задачі</b>	<b>9</b>
<b>1 Огляд</b>	<b>11</b>
1.1 Історичний огляд . . . . .	11
1.2 Фізична модель . . . . .	11
1.2.1 Визначення плазми . . . . .	14
1.2.2 Екранування поля електричного заряду в плазмі . Де- баєвський радіус екранування . . . . .	15
1.2.3 Загальна характеристика і математичний опис гарячої магнітосферної плазми . . . . .	17
1.2.4 Струми частинок плазми на поверхні незарядженого тіла . . . . .	19
1.2.5 Обчислення напруженості поля . . . . .	20
1.3 Метод Монте-Карло . . . . .	22
1.3.1 Пряме моделювання методом Монте-Карло . . . . .	24
<b>2 Математична модель</b>	<b>25</b>
2.1 Опис структур даних . . . . .	25
2.1.1 Point . . . . .	25
2.1.2 Vector . . . . .	25
2.1.3 Locus . . . . .	26
2.1.4 Line . . . . .	26
2.1.5 ThreePoints . . . . .	26
2.1.6 Plane . . . . .	26
2.1.7 OrientedPlane . . . . .	26
2.1.8 Particle . . . . .	27
2.1.9 Sphere . . . . .	27
2.1.10 Object3D . . . . .	27
2.1.11 GenerativeSphere . . . . .	28

	5
2.2	Опис геометричних функцій . . . . . 28
2.2.1	Перевірка, чи знаходиться точка всередині трикутника 28
2.2.2	Пошук точки перетину прямої і площини . . . . . 29
2.2.3	Пошук проєкцій . . . . . 30
2.2.4	Пошук відстаней . . . . . 30
2.2.5	Перевірка, чи перетинає пряма сферу . . . . . 31
2.2.6	Поворот точки навколо прямої . . . . . 31
2.2.7	Геометричні функції, в яких використовуються випад- кові величини . . . . . 32
2.3	Опис типів даних і функцій для роботи з часом і випадковими величинами . . . . . 32
2.3.1	UniformDistributionGenerator . . . . . 32
2.3.2	GaussianDistributionGenerator . . . . . 33
2.3.3	MaxwellDistributionSpeedGenerator . . . . . 33
2.3.4	Функції для роботи з часом . . . . . 33
2.4	Опис функцій для роботи з масивами даних . . . . . 33
2.4.1	reduce . . . . . 34
2.4.2	map . . . . . 34
2.5	Опис функцій для роботи з файлами . . . . . 34
2.5.1	getCoordinatesFromPlainFile . . . . . 34
2.5.2	getCoordinatesFromSpecialFile . . . . . 34
2.6	Опис функцій для розв’язання крайової задачі . . . . . 36
2.6.1	solveBoundaryProblem . . . . . 37
2.6.2	resultf_ . . . . . 37
<b>3</b>	<b>Математичний і програмний опис алгоритму 38</b>
3.1	Опис розв’язання . . . . . 38
3.2	Режими роботи програми . . . . . 41
3.3	Опис інтерфейсу програми . . . . . 43
3.4	Результати роботи програми . . . . . 45
3.4.1	Зображення космічних апаратів . . . . . 45
3.4.2	Зображення частинок, що моделюються . . . . . 46
3.4.3	Результати спостережень . . . . . 47

	6
<b>4 Охорона праці та безпека в надзвичайних ситуаціях</b>	<b>49</b>
4.1 Характеристики робочого приміщення . . . . .	49
4.2 Шкідливі та небезпечні виробничі фактори . . . . .	50
4.3 Аналіз відповідності робочого приміщення встановленим нормам . . . . .	51
4.3.1 Відповідність вимогам до виробничих приміщень . . .	51
4.3.2 Відповідність вимогам до ПК з периферійними пристроями . . . . .	53
4.3.3 Відповідність вимогам до організації робочого місця програміста . . . . .	53
4.3.4 Відповідність вимогам безпеки під час роботи з ПК з периферійними пристроями . . . . .	54
4.4 Розрахунок пристрою заземлення для заданого типу ґрунту	54
4.5 Висновок . . . . .	57
<b>Висновок</b>	<b>58</b>
<b>Література</b>	<b>60</b>
<b>Додаток</b>	<b>62</b>

## Вступ

Добре відомо, що тіло, поміщене в рівноважну плазму, набуває негативний потенціал, величина якого якого близька до температури плазми. Цей факт, дослідження якого було розпочато Ленгмюром, який створив основи теорії електричних зондів, придбав нове значення у зв'язку з запусками та експлуатацією високоорбітальних космічних апаратів (КА).

Справа в тому, що якщо низькоорбітальні КА взаємодіють з плазмою, температура якої не перевищує одиниць вольт, і набувають внаслідок цього незначні негативні потенціали, то високоорбітальні КА, що потрапляють, наприклад, в плазмовий шар магнітосфери, можуть заряджатися до потенціалу 1-20 кВ. Такі різниці потенціалів між КА і навколишнього плазмою здатні значно спотворювати вимірювання потоків і спектрів заряджених частинок, що проводяться на космічних апаратах. Якщо ж врахувати, що потенціал поверхні КА залежить не тільки від параметрів навколишнього плазми, але і від умов освітленості, що більшість КА мають нееквіпотенційну поверхню, що як параметри навколишнього середовища, так і умови освітленості КА змінюються в часі, то можна уявити всю складність картини електростатичної зарядки високоорбітальних космічних апаратів. Неоднорідності електрофізичних характеристик поверхні КА і нерівномірність її освітленості призводять також до появи мінливих у часі диференційних різниць потенціалів, які можуть бути причиною розрядів, потенційно небезпечних для нормального функціонування електронних пристроїв, розміщених на космічних апаратах.

Таким чином, електростатична зарядка (електризація) високоорбітальних КА – це складний фізичний процес, необхідність дослідження якого диктується як потребами підвищення точності і якості бортових вимірювань радіаційної обстановки близько КА, так і шкідливими впливами факторів електризації, що погіршують надійність і ресурсні характеристики космічних апаратів.

Експериментальні дослідження електризації геостаціонарних КА підтверджують загальні теоретичні уявлення про те, що середній потенціал геостаціонарних КА, а також диференційні різниці потенціалів можуть

приймати значення до десятків кіловольт. Встановлено, що найбільші значення потенціалів припадають на нічні ділянки траєкторії, а екстремально великі значення реєструвалися в моменти магнітосферних суббурь, коли КА перебували в тіні від Землі. Ступінь електризації позитивно корелює з геомагнітною збуреністю, а деталі процесу електризації кожного конкретного КА виявилися залежними від його конструктивних особливостей [1].

Робота починається з розділу, котрий освітлює фізичну модель задачі. В ньому розглядається космічна плазма, її склад, характеристики і поведінка. Також в розділі наявні відомості про метод Монте-Карло, за яким проводиться моделювання.

Другий розділ містить в собі опис математичної моделі – відомості про створені структури даних, про функції обробки геометричних об'єктів моделі, дається опис функцій генерації випадкових величин з різноманітними ймовірнісними розподілами, а також функцій обробки вхідних даних та список підтримуваних форматів.

Останній розділ складається з опису процесу моделювання, інтерфейсу програми і демонстрації отриманих результатів.

## Постановка задачі

Для штучних супутників Землі (ШСЗ) однією з найважливіших є проблема електризації та заняття електричного заряду з поверхні ШСЗ в процесі експлуатації.

Суть проблеми полягає в тому, що ШСЗ, які знаходяться на високих орбітах, насамперед на геостационарних, піддаються нерівномірній електризації швидкими електронами. При цьому ШСЗ в цілому, або окремі частини його поверхні, які знаходяться в тіні сонця, заряджаються до високого від'ємного потенціалу відносно оточуючого космічного простору. [2]. Через неоднакову освітленість діелектричних ділянок ШС виникає різниця потенціалів, яка викликає електричні пробої – вони ведуть до збоїв в роботі радіоелектронних приладів і руйнують поверхню супутника. Ефект електричного зарядження особливо посилюється в період геомагнітних бурь, пов'язаних з підвищеною сонячною активністю. У таких випадках від'ємний потенціал геостационарного супутника може досягати значних величин. [3] [4]

Дана робота присвячена розробці програмного забезпечення для моделювання електризації тіл в космічному просторі, а також обчислення значень потенціалів, що будуть накопичуватися на цих тілах або їх частинах. В роботі розглядається випадок струму частин плазми на поверхні незарядженого тіла, оскільки він є більш простим, але програмне забезпечення має бути розроблене таким чином, щоб мати можливість його розвинути для обробки випадку поверхні зарядженого тіла.

Для побудови математичної моделі необхідно виконати огляд наявних експериментальних даних, які б описували поведінку і параметри елементів системи, що моделюється – наприклад, щільність і температура космічної плазми, радіус екранування електричного заряду в ній, швидкості елементарних частинок і космічних апаратів тощо.

Також для більш точної відповідності побудованої моделі реальній системі, потрібно якомога точніше описати в програмі елементи цієї системи, створивши для них відповідні типи даних, класи та алгоритми, які моделювали б їх взаємодію.



Після створення програмного забезпечення, що відповідає описаним вимогам, за його допомогою має бути проведена серія стохастичних випробувань, яка, згідно зі статистичним методом Монте-Карло, дозволить прослідкувати зміну потенціалу космічного апарату і струмів на його поверхні з плином часу.

# 1 Огляд

## 1.1 Історичний огляд

Вперше ефекти електростатичної зарядки були розглянуті В.Г. Куртом і В.І. Морозом ще в 1961 році. Їх робота стала потужним поштовхом в розвитку досліджень, пов'язаних зі створенням засобів електростатичного захисту від космічних випромінювань і вивченням можливості їх використання в комплексі з іншими системами космічного апарату при тривалому знаходженні останнього в області радіаційного впливу.

В наші дні велика увага приділяється комп'ютерному моделюванню процесів електричного зарядження поверхні космічних апаратів. Комп'ютерне моделювання дозволяє отримати повну картину електризації поверхні апарату заданої геометрії в умовах космосу без значних затрат часу і коштів.

Існує декілька комп'ютерних програм, призначених для розрахунку електризації поверхні космічних апаратів. Найпершою такою програмою стала NASCAP (NASA Charging Analyzer Program), розроблена S-Cubed (System, Science and Software) для NASA і ВПС США близько 1980 року.

В даній роботі розробляється програма для розрахунку електризації космічних апаратів, в якій це робиться за допомогою статистичного методу Монте-Карло.

## 1.2 Фізична модель

При взаємодії космічного апарату (КА) з плазмою, що оточує його в польоті, виникають різноманітні фізичні явища, специфіка яких залежить як від параметрів плазми, так і від характеристик КА, в першу чергу – від властивостей матеріалів, що знаходяться на його поверхні, і від конфігурації апарату. До таких явищ належать: утворення електричного заряду на поверхні КА, розпилення матеріалів, світіння на поверхні і поблизу неї, збудження коливань у плазмі та деякі інші.

Найбільш значний вплив на функціонування КА може здійснювати утворення заряду на його поверхні. Знак і величина електричного заряду, що утворюється на поверхні КА, залежать від співвідношення інтенсивності

процесів, що забезпечують надходження на поверхню і видалення з неї позитивно і негативно заряджених частинок, тобто від співвідношення різних складових сумарного електричного струму, що тече через поверхню КА. Основними складовими цього струму є електронний та іонний струми навколишньої плазми, вторинно-емісійні струми, обумовлені первинними плазовими струмами, і фотоелектронний струм, що виникає під дією короткохвильового випромінювання Сонця. Додаткові складові можуть створюватися деякими видами бортового устаткування КА: електроракетними двигунами, що випускають при роботі плазові струмені, електронними та іонними прожекторами, що використовуються в наукових експериментах і т.п.

При електризації КА між його поверхнею і навколишньої плазмою виникає різниця потенціалів. Сталий потенціал поверхні, відлічуваний щодо потенціалу незбуреної плазми, визначається умовою динамічної рівноваги, при якому сумарний струм, що тече через поверхню КА, дорівнює нулю. З енергетичних співвідношень випливає, що рівноважний потенціал залежить від середньої енергії частинок плазми, тобто від її температури: чим вища температура плазми, тим більший потенціал може отримати поверхня тіла. В багатокомпонентній космічній плазмі характерне значення максимального потенціалу визначається енергією заряджених частинок, що превалюють в струмовому балансі.

Реальний КА являє собою складну конструкцію з неоднорідною структурою і великою кількістю діелектричних матеріалів на зовнішній поверхні. У зв'язку з цим потенціали окремих ділянок поверхні і елементів конструкції можуть бути різними через відмінності умов потрапляння потоків первинних частинок на ці ділянки та умов їх освітлення, а також через відмінності емісійних властивостей матеріалів поверхні. Відбувається так зване диференційне зарядження КА, при якому між окремими ділянками непровідної поверхні виникають різниці потенціалів.

Описаний вище процес зарядження КА як єдиного провідного тіла прийнято називати загальним зарядженням. Дане поняття можна застосувати і по відношенню до реального КА, проте в цьому випадку воно відноситься до середнього потенціалу КА, що визначається сукупністю всіх електричних

зарядів, які знаходяться на його поверхні і елементах конструкції.

Очевидно, що власне електричне поле зарядженого КА є збурюючим фактором, який необхідно враховувати в багатьох випадках при проведенні вимірювань параметрів космічного середовища за допомогою приладів, встановлених на КА. З цієї точки зору явище електризації КА в космічній плазмі аналізувалося ще в середині 1950-х рр. при розробці наукових приладів для перших штучних супутників Землі. Тоді приймалися до уваги потенціали з характерними величинами від часток до одиниць вольт, що, як ми побачимо далі, характерно для випадку зарядження КА на низьких навколоземних орбітах – в іоносфері.

Проте найбільший вплив на бортове обладнання КА мають електростатичні розряди (ЕСР), які можуть виникати між окремими ділянками поверхні і елементами конструкції диференційно зарядженого КА, а також між його поверхнею і навколишньої плазмою. Локальні струми і електромагнітні випромінювання, породжувані ЕСР, створюють значні перешкоди для роботи бортового обладнання КА.

Як фактор, що має серйозний несприятливий вплив на роботу бортових систем КА, явище електризації стало систематично вивчатися на початку 1970-х рр. при запусках КА на геостаціонарну орбіту (кругова екваторіальна орбіта з висотою 36000 км), де, як з'ясувалося пізніше, параметри плазми такі, що значення потенціалів на КА досягають 10-20 кВ.

Геостаціонарна орбіта (ГСО) примітна тим, що на ній кутова швидкість руху КА дорівнює швидкості обертання Землі. Внаслідок цього КА постійно знаходиться над однією точкою земної поверхні (звідси назва орбіти), забезпечуючи тим самим дуже зручні умови для трансляції через нього радіосигналів. Тому геостаціонарні КА працюють головним чином в космічних системах радіозв'язку та телебачення.

На перших геостаціонарних КА, спроектованих без урахування можливого впливу ефектів електризації, спостерігалася велика кількість неполадок в роботі бортового обладнання: відбувалися мимовільні включення і виключення різних пристроїв, змінювалася орієнтація антен, припинялася подача електроенергії від сонячних батарей і т.д., причому аномалії спостерігалися переважно в нічні та ранні ранкові години. Не відразу вдалося

зрозуміти, що всі ці ефекти пов'язані з електризацією КА.

Поступово при статистичному аналізі відмов і збоїв у роботі апаратури КА був виявлений кореляційний зв'язок між спостережуваними аномаліями і появою інтенсивних потоків гарячої плазми в області ГСО. На геостаціонарних КА були встановлені прилади для вимірювання параметрів навколишньої плазми і спеціальні датчики для реєстрації електромагнітних перешкод і вимірювання напруженості електричного поля біля поверхні КА. Дані, отримані за допомогою цих приладів, переконливо підтвердили факт виникнення ЕСР на борту КА при електризації під дією гарячої плазми. При характерних значеннях потенціалів на геостаціонарних КА, вимірюваних одиницями і навіть десятками кіловольт, рівень перешкод, створюваних ЕСР, дуже високий, а в деяких випадках ЕСР можуть призводити до руйнування компонентів апаратури та елементів конструкції.

Вжиті теоретичні і лабораторні дослідження явища електризації КА дозволили зрозуміти основні його закономірності і запропонувати методи зниження впливу ефектів електризації на функціонування бортових систем КА. Однак проблема далеко не вичерпана. Створення нових конструкцій КА, підвищення вимог до їх надійності та тривалості функціонування, оснащення КА новими видами устаткування і високочутливою науковою апаратурою – все це потребує подальшого детального вивчення особливостей електризації КА в різних умовах і вдосконалення методів їх захисту.[5]

### 1.2.1 Визначення плазми

Фізика плазми грає дуже важливу роль в космофізичних і астрофізичних дослідженнях, оскільки плазма є основним станом речовини у Всесвіті. Взагалі кажучи, не всякий іонізований газ може бути названий плазмою. Термін плазма використовується по відношенню до іонізованих газів, в яких можливе мимовільне розділення зарядів за рахунок хаотичного руху частинок мале в порівнянні з макроскопічної щільністю зарядів. Це обумовлено тим, що поведінка великого числа заряджених частинок в плазмі контролюється кулонівськими силами, що діють на великі відстані, порівняно з якими сили взаємодії з довколишніми зарядженими і нейтральними частками (короткодійні взаємодії) зневажливо малі. Таким чином, плазма

повинна містити досить велике число заряджених частинок – електронів та іонів, але разом з тим щільність іонізованого газу повинна бути мала. З даного визначення випливає, що в макроскопічному відношенні плазма електрично нейтральна.

У загальному випадку плазма складається з суміші заряджених і нейтральних частинок. Відношення концентрації заряджених частинок в газі до повної концентрації частинок називається ступенем іонізації. Залежно від цього параметра розрізняють слабо іонізовану плазму (ступінь іонізації порядку часток відсотка), помірно іонізовану (кілька відсотків) і повністю іонізовану.

У космічному просторі зустрічаються всі вказані види плазми. Наприклад, іоносферна плазма, про яку докладніше ми будемо говорити нижче, є слабо іонізованою, а плазма в області геостаціонарної орбіти – практично повністю іонізованою.

Кулонівських сили, що діють на великі відстані, в значній мірі визначають електричні та статистичні характеристики плазми.[5]

### **1.2.2 Екранування поля електричного заряду в плазмі . Дебаєвський радіус екранування**

Електричне поле, яке створює пробний заряд  $q$ , внесений до плазми, виявиться на деякій відстані екранованим, так як такий заряд притягує заряджені частинки плазми протилежного знаку і відштовхує однойменно заряджені частинки, тобто в околиці пробного заряду відбувається зміна просторового розподілу електронів та іонів плазми.

Розподіл потенціалу електричного поля  $\phi$  в околиці пробного заряду може бути знайдено за допомогою рівняння Пуассона

$$\Delta\phi = -4\pi\rho,$$

де  $\rho = e(n_i - n_e)$  – щільність об'ємного заряду в плазмі;  $n_i$  – концентрація іонів,  $n_e$  – концентрація електронів,  $e$  – елементарний електричний заряд.

Тут використаний запис рівняння в системі СГСЕ для середовища з відносною діелектричною проникністю, що дорівнює одиниці.

Для точки простору з координатою  $r$  можна записати

$$\Delta\phi = -4\pi e(n_i(r) - n_e(r)).$$

Концентрації частинок плазми змінюються в електричному полі позитивного пробного заряду згідно з формулою Больцмана

$$n_i(r) = n \exp \left[ -\frac{e\phi(r)}{kT_i} \right]$$

$$n_e(r) = n \exp \left[ \frac{e\phi(r)}{kT_e} \right],$$

де  $n$  – концентрація заряджених частинок незбуреній області плазми, тобто в області, де електричне поле пробного заряду відсутнє;  $T_i$ ,  $T_e$  – температура іонної та електронної складових плазми;  $k$  – постійна Больцмана.

Вирішуючи рівняння Пуассона з урахуванням розподілів  $n_i(r)$  і  $n_e(r)$  стосовно до точкового пробного заряду  $q$  і вважаючи що  $T_i = T_e = T$ , знайдемо вираз для потенціалу на відстані  $r$  від заряду

$$\phi(r) \approx \frac{q}{r} \exp \left( -\frac{r}{\lambda_d} \right),$$

де  $\lambda_d = \left( \frac{kT}{8\pi n e^2} \right)^{\frac{1}{2}}$  – Дебаєвський радіус екранування (радіус Дебая). Можна записати також

$$\lambda_d \cong 4.9 \left( \frac{T}{n} \right)^{\frac{1}{2}},$$

де  $T$  – в кельвінах,  $n$  – в см. Якщо  $T_i \neq T_e$ , радіус Дебая дається виразом

$$\lambda_d = \left( \frac{k}{4\pi n e^2} \frac{T_i T_e}{T_i + T_e} \right)^{\frac{1}{2}}.$$

Аналогічним виразом можна користуватися при аналізі енергетично багатокomпонентної плазми з урахуванням концентрацій окремих складових [5].

У випадку електронейтральної системи дебаєвський радіус також зна-

ходить з рівняння Дебая-Хюкеля

$$\lambda_d = \left( \frac{\varepsilon_r \varepsilon_0 k_B T}{\sum_{j=1}^N n_j^0 q_j^2} \right)^{\frac{1}{2}}, \quad (1)$$

де  $\varepsilon_r$  – відносна діелектрична провідність, яку, як вже зазначалось, приймаємо рівній одиниці,  $\varepsilon_r$  – діелектрична постійна,  $\varepsilon_r \approx 8.854187817 \cdot 10^{-12}$  Ф/м,  $n_j^0$  – середня концентрація зарядів типу  $j$  з величиною заряду  $q_j$ .

Дебаєвський радіус екранування  $\lambda_d$  визначає характерні розміри сфери, в межах якої в плазмі виявляється дія електричного поля пробного заряду.

### 1.2.3 Загальна характеристика і математичний опис гарячої магнітосферної плазми

В магнітосфері Землі гаряча плазма присутня переважно на висотах, що вимірюються тисячами кілометрів – в плазмовому шарі і в області авроральної радіації, яка проектується уздовж геомагнітних силових ліній на іоносферні висоти, утворюючи авроральні овали, усередині яких електрони з енергіями 1-50 кеВ проникають в атмосферу до висот 100 км, викликаючи полярні сйва.

Екваторіальний кордон авроральної овалу лежить на широті  $68^\circ$  на нічній стороні і на широті  $75^\circ$  – на денній стороні. Ширина зони висипань становить  $2 - 3^\circ$ . Обидва зазначених параметра залежать від рівня геомагнітної активності: зі збільшенням активності відбувається розширення овалу і зміщення його зовнішнього кордону до екватора. В умовах сильних геомагнітних збурень зовнішня межа овалу може розташовуватися на широті  $55^\circ$ , а внутрішня - на широті  $80^\circ$ . Вплив на КА авроральних електронів має спорадичний характер.

Таким чином, в високоширотних областях низькоорбітальні КА можуть піддаватися одночасному впливу холодної іоносферної плазми і потоків авроральних електронів. В таких умовах потенціал КА досягає 1-5 кВ. Відразу ж відзначимо, що цей випадок електризації найбільш важкий для аналізу.



При розгляді зовнішніх факторів, що викликають електризацію КА, найбільшу увагу приділяють аналізу характеристик гарячої магнітосферної плазми, оскільки саме вона викликає появу на КА найбільш високих потенціалів.

До теперішнього часу характеристики гарячої магнітосферної плазми досить добре вивчені, чому неабиякою мірою сприяли дослідження електризації геостаціонарних КА. Енергетичні спектри електронів та іонів гарячої магнітосферної плазми, зокрема в області ГСО, займають діапазон енергій від 0,05 до 100 кеВ. Проведені дослідження показали, що функція розподілу часток гарячої магнітосферної плазми досить точно апроксимується суперпозицією двох максвеллівських розподіл з характерними енергіями  $kT_1 \cong 0,2 - 0,4$  кеВ і  $kT_2 \cong 5 - 10$  кеВ

$$f_j(v_j) = n_{1j} \left( \frac{m_j}{2\pi kT_{1j}} \right)^{\frac{3}{2}} \exp \left( -\frac{m_j v_j^2}{2\pi kT_{1j}} \right) + n_{2j} \left( \frac{m_j}{2\pi kT_{2j}} \right)^{\frac{3}{2}} \exp \left( -\frac{m_j v_j^2}{2\pi kT_{2j}} \right),$$

де  $n_j$  - концентрація часток  $j$ -ого сорту (електрони, протони або інші іони) відповідно для складових з температурами  $T_1$  і  $T_2$ ;  $m_j$ ,  $v_j$  – маса і швидкість частинок.

Характеристики гарячої магнітосферної плазми в області ГСО вимірювалися за допомогою апаратури багатьох КА. В таблиці 1 наведені параметри двухтемпературних максвеллівських функцій розподілу для електронів і протонів на ГСО, які запропоновано розглядати як «найгірших умов» функціонування КА з точки зору його електризації. Реально параметри плазми можуть змінюватися в досить широких межах залежно від рівня сонячної та геомагнітної активності.

Експериментально встановлено, що в області ГСО крім іонів  $H^+$ , які є зазвичай основним іонним компонентом плазми, можуть бути присутніми іони  $He^+$ ,  $O^+$ ,  $He^{2+}$ ,  $O^{2+}$  іоносферного походження. Зміст іонів в плазмі зазвичай зростає з підвищенням рівня геомагнітної активності, а при дуже високій збуреності концентрація іонів  $O^+$  може в деяких випадках перевищувати концентрацію іонів  $H^+$ . Тому іонний склад плазми бажано враховувати в моделі електризації геостаціонарних КА. Однак поки в більшості випадків при аналізі електризації розглядають електроннопротонну

плазму [5].

Табл. 1: Параметри двухтемпературних максвеллівських функцій розподілу для електронів і протонів на ГСО «для найгіршого випадку»

Параметр	Електрони	Протони
$n_1, \text{см}^{-3}$	0.2	0.6
$kT_1, \text{кеВ}$	0.4	0.2
$n_2, \text{см}^{-3}$	1.2	1.3
$kT_2, \text{кеВ}$	27.5	28

#### 1.2.4 Струми частинок плазми на поверхні незарядженого тіла

На поверхню тіла, внесеного в плазму, надходять потоки електронів та іонів, зумовлені тепловим рухом частинок. При однаковій енергії електронів та іонів, яка визначається температурою плазми, електрони мають значно більш високу швидкість в порівнянні з іонами через різницю мас частинок. Тому спочатку, поки внесене в плазму тіло не заряджена, потік електронів, що падає на поверхню, перевищує потік позитивних іонів, і тіло заряджається негативно. Далі надходження заряджених частинок на поверхню відбувається в умовах дії на них електричного поля, яке по відношенню до електронів є гальмуючим, а по відношенню до позитивних іонів – прискорюючим. Це в результаті призводить до рівності потоків електронів та іонів при деякому негативному потенціалі поверхні. Такий простий випадок зарядження тіла в двокомпонентній плазмі розглядається в теорії плазмового зонда, відомого у фізиці як зонд Ленгмюра.

Як уже зазначалося, якщо внесене в плазму тіло не заряджена, тобто знаходиться при потенціалі плазми, струми, що течуть на поверхні, обумовлені тільки тепловим рухом частинок.

В цьому випадку щільність струму частинок плазми одного виду з концентрацією  $n$  визначається виразом

$$j = -en \int (sv) f(v) dv,$$

де  $s$  – нормаль до поверхні, що розглядається, а добуток  $(sv)$  – нормальна складова швидкості. Інтегрування ведеться по зовнішній відносно поверхні півсфері.

Для незарядженої поверхні при максвелівському розподілі частинок за швидкостями отримаємо

$$j_0 = en \left( \frac{kT}{2\pi m} \right)^{\frac{1}{2}}. \quad (2)$$

У ізотермічної електронно-протонній плазмі з однаковою концентрацією часток ( $T_e = T_p, n_e = n_p$ ) відношення щільності електронного струму на незарядженій поверхні до щільності протонного струму визначається виразом [5]

$$\frac{j_{e0}}{j_{p0}} = \left( \frac{m_p}{m_e} \right)^{\frac{1}{2}} = \sqrt{1836} \approx 43.$$

### 1.2.5 Обчислення напруженості поля

Нехай є деяке електростатичне поле і невідома функція  $u(x, y, z)$ , що задає величину електростатичного потенціалу в кожній точці області простору.

Напруженість і потенціал електростатичного поля пов'язані співвідношенням

$$E = -\nabla u.$$

або

$$E_x = -\frac{\partial u}{\partial x}, E_y = -\frac{\partial u}{\partial y}, E_z = -\frac{\partial u}{\partial z}. \quad (3)$$

За теоремою Гауса для напруженості електричного поля [11]:

$$\nabla \cdot E = 0$$

або

$$\frac{\partial E_x}{\partial x} + \frac{\partial E_y}{\partial y} + \frac{\partial E_z}{\partial z} = 0 \quad (4)$$

Піставляючи 3 в 4, отримуємо рівняння, що описує невідому функцію  $u(x, y, z)$ :

$$\frac{\partial^2 u}{\partial x^2} + \frac{\partial^2 u}{\partial y^2} + \frac{\partial^2 u}{\partial z^2} = 0,$$

або

$$\Delta u = 0.$$

При цьому сумарний потенціал на поверхні тіла в початковий момент буде дорівнювати деякій константі

$$u|_S = 1.$$

(з огляду на те, що поверхня тіла є добре провідною, можна вважати, що потенціал на поверхні в кожний момент постійний).

Оскільки шукана функція  $u$  задана в обмеженій області і відомі її значення на границі цієї області, задача, що розглядається, є крайовою задачею Діріхле.

Введемо функцію

$$F_{MP} = \frac{1}{4\pi r_{MP}},$$

де

$$r_{MP} = \sqrt{(x_M - x_P)^2 + (y_M - y_P)^2 + (z_M - z_P)^2}.$$

Ця функція називається фундаментальним розв'язком тривимірного рівняння Лапласа. Тоді за другою формулою Гріна [12], для довільної точки  $M$  області (область поза літальним апаратом, яка обмежується поверхнею літального апарату) буде справедливо:

$$u_M = \int_S \frac{\partial u}{\partial n}(P) F_{MP} dS_P - \int_S u_P \frac{\partial F_{MP}}{\partial n} dS_P$$

Оскільки поверхня нашого тіла апроксимується трикутними полігонами, можна інтеграли по площі поверхні тіла переписати як суму інтегралів по площі кожного з полігонів (яка є постійною на кожному полігоні):

$$u_M = \sum_{j=1}^N \frac{\partial u}{\partial n}(j) \int_{S_j} F_{MP} dS_j - \sum_{j=1}^N u_j \int_{S_j} \frac{\partial F_{MP}}{\partial n} dS_j \quad (5)$$

( $u$  та її похідна можуть бути винесені з-під знаку інтегралу, оскільки на кожному полігоні вони приймають постійне значення).

В останній формулі замість  $M$  послідовно підставивши  $N$  точок ( $N$  – кількість полігонів, які апроксимують поверхню тіла), кожна з яких є центром одного з полігонів, отримаємо  $N$  рівнянь:

$$u_i = \sum_{j=1}^N \frac{\partial u}{\partial n}(j) \int_{S_j} F_{iP} dS_j - \sum_{j=1}^N u_j \int_{S_j} \frac{\partial F_{iP}}{\partial n} dS_j, i = 1..N$$

Позначимо поверхневі інтеграли по полігонам, що є коефіцієнтами, наступним чином:

$$A_{ij} = \int_{S_j} F_{iP} dS_j$$

$$B_{ij} = \int_{S_j} \frac{\partial F_{iP}}{\partial n} dS_j.$$

Ці коефіцієнти є постійними для задачі, що розглядається, тому можуть бути обчислені лише раз для кожного тіла і використовуватись в подальшому без змін. Можна побачити, що при  $i = j$  в вищезазначених формулах з'являться невластні інтеграли, які належить обчислити окремо.

Отримаємо систему з  $N$  алгебраїчних рівнянь відносно  $\frac{\partial u}{\partial n}(j)$

$$u_i = \sum_{j=1}^N \frac{\partial u}{\partial n}(j) A_{ij} - \sum_{j=1}^N u_j B_{ij}, i = 1..N$$

або

$$\sum_{j=1}^N \frac{\partial u}{\partial n}(j) A_{ij} = u_i + \sum_{j=1}^N u_j B_{ij}, i = 1..N$$

Розв'язавши дану систему лінійних алгебраїчних рівнянь, отримаємо значення  $\frac{\partial u}{\partial n}(j)$ . Таким чином, підставивши ці значення в 5, маємо можливість знайти значення  $u_M$  для будь-якої точки області.

Розв'язання вищеописаної задачі Діріхле відбувається у зовнішньому модулі, що написаний на мові Fortran і підключається до програми як об'єктний файл.

### 1.3 Метод Монте-Карло

Прояв методів статистичного моделювання (Монте-Карло) в різних областях прикладної математики, як правило, пов'язаний з необхідністю вирішення якісно нових завдань, що виникають з потреб практики. Так було при створенні атомної зброї, на першому етапі освоєння космосу, дослі-

дженні явищ атмосферної оптики, фізичної хімії, моделюванні турбулентності. В якості одного з більш-менш вдалих визначень методів Монте-Карло можна привести наступне:

Методи Монте-Карло – це чисельні методи розв’язання математичних задач (систем алгебраїчних, диференціальних, інтегральних рівнянь) і пряме статистичне моделювання (фізичних, хімічних, біологічних, економічних, соціальних процесів) за допомогою отримання і перетворення випадкових чисел.

Перша робота по використанню методу Монте-Карло була опублікована Холлом в 1873 році саме при організації стохастичного процесу експериментального визначення числа шляхом кидання голки на лист лінійованого паперу. Яскравий приклад використання методів Монте-Карло – використання ідеї Дж. фон Неймана при моделюванні траєкторій нейтронів в лабораторії Лос Аламоса в сорокових роках минулого століття. Хоча методи Монте-Карло пов’язані з великою кількістю обчислень, відсутність електронної обчислювальної техніки ні в тому ні в іншому випадку не збентежила дослідників при застосуванні цих методів, оскільки в тому і в іншому випадку мова йшла про моделювання випадкових процесів. І свою назву вони отримали по імені столиці князівства Монако, знаменитої своїми гральними домами, основу яких складає рулетка – досконалий інструмент для отримання випадкових чисел. А перша робота, де це питання викладався систематично, опублікована в 1949 році Метрополіс і Уламом [6], де метод Монте-Карло застосовувався для вирішення лінійних інтегральних рівнянь, де явно вгадувалось завдання про проходження нейтронів через речовину. [7].

У 1950-х роках метод використовувався для розрахунків при розробці водневої бомби. Основні заслуги у розвитку методу в цей час належать співробітникам лабораторій ВПС США і корпорації RAND.

У 1970-х роках в новій галузі математики – теорії обчислювальної складності було показано, що існує клас задач, складність (кількість обчислень, необхідних для отримання точної відповіді) яких зростає з розмірністю задачі експоненційно. Іноді можна, пожертвувавши точністю, знайти алгоритм, складність якого зростає повільніше, але є велика кількість задач,

для яких цього не можна зробити (наприклад, задача визначення обсягу опуклого тіла в  $n$ -мірному евклідовому просторі) і метод Монте-Карло є єдиною можливістю для отримання достатньо точної відповіді за прийнятний час.

В даний час основні зусилля дослідників спрямовані на створення ефективних Монте-Карло алгоритмів різних фізичних, хімічних і соціальних процесів для паралельних обчислювальних систем.

### **1.3.1 Пряме моделювання методом Монте-Карло**

Пряме моделювання методом Монте-Карло деякого фізичного процесу передбачає моделювання поведінки окремих елементарних частин фізичної системи. По суті це пряме моделювання близьке до вирішення завдання з перших принципів, проте зазвичай для прискорення розрахунків допускається застосування деяких фізичних наближень. Прикладом можуть служити розрахунки різних процесів методом молекулярної динаміки: з одного боку система описується через поведінку її елементарних складових частин, з іншого боку, використаний потенціал взаємодії найчастіше є емпіричним.

Приклади прямого моделювання методом Монте-Карло:

- Моделювання опромінення твердих тіл іонами в наближенні бінарних зіткнень.
- Пряме Монте-Карло моделювання розріджених газів.

Більшість кінетичних Монте-Карло моделей належать до прямих (зокрема, дослідження молекулярно-пучкової епітаксії).

## 2 Математична модель

Для моделювання руху і зіткнень частинок та космічного апарату було введено низку структур даних, що представляють як геометричні абстракції (точка, пряма, площина, вектор, сфера), так і реальні об'єкти (елементарна частинка, полігональний тривимірний об'єкт). Для роботи з цими структурами було, окрім методів самих структур, розроблено модуль з окремими функціями – їх опис, а також опис структур даних подано нижче.

### 2.1 Опис структур даних

Для представлення чисел з плаваючою крапкою введено тип `real`, який є альтернативним іменем для типу `float` (одинарна точність), а при недостатчій точності чи інших потребах може бути легко замінений на `double` (подвійна точність).

#### 2.1.1 Point

Тип потрібен для представлення точки в тривимірному просторі – в кожному об'єкті зберігаються три координати типу `float`. Також наявні методи для порівняння з іншими об'єктами цього ж типу і методи для додавання або віднімання вектора (виконується зсув точки на заданий вектор).

#### 2.1.2 Vector

Тип введено для представлення вектора в тривимірному просторі. Клас `Vector` успадковано від класу `Point`, оскільки вектор теж однозначно задається трьома координатами – при необхідності може перетворений до батьківського класу. Серед методів можна назвати порівняння з об'єктами цього ж типу, множення вектора на константу і на вектор (в наявності як скалярний добуток, так і векторний, знаходження суми і різниці векторів, довжини вектора, косинуса кута між векторами, а також нормалізація вектора і приведення його до заданої довжини.



### 2.1.3 Locus

Базовий шаблонний клас для всіх підкласів, які представляють собою геометричний об'єкт, що задається набором точок. В якості параметра класу виступає кількість точок. Об'єкт класу містить лише масив заданої параметром довжини і має метод для виводу цього масиву в зручній для сприйняття формі. В перспективі до класу можуть бути додані методи, що працюють відразу з усіма точками, незалежно від їх кількості (наприклад, афінні перетворення).

### 2.1.4 Line

Клас успадковано від Locus з параметром 2, тобто містить в собі дві точки, а також для зручності направляючий вектор, котрий обчислюється при конструюванні об'єкта. Серед методів можна відмітити метод отримання точки на прямій за коефіцієнтом, яким ця точка визначається в параметричних рівняннях прямої.

### 2.1.5 ThreePoints

Базовий клас для всіх класів, що представляють об'єкти, які можуть бути задані трьома точками (трикутник, площа, орієнтована площа). Клас успадковано від Locus з параметром 3, тобто містить в собі три точки. Окрім оператора присвоювання має ще метод для визначення нормалі (за допомогою векторного добутку векторів, утворених двома різними парами точок), а також методи для знаходження центру мас і площі трикутника, утвореного цими трьома точками (при умові, що три точки не лежать на одній прямій).

### 2.1.6 Plane

Клас для представлення площини, успадкований від класу ThreePoints. Додано метод для визначення чи належить точка даній площині.

### 2.1.7 OrientedPlane

Клас для представлення орієнтованої площини, успадкований від класу Plane. Містить вектор нормалі, який тепер повертається перевантаже-

ним метод отримання нормалі, який було визначено в класі `ThreePoints`. Нормаль обчислюється при конструюванні об'єкта як векторний добуток двох векторів: один з початком в першій точці, кінцем в другій, інший з початком в першій точці, кінцем в третій – тобто перший, другий вектори і нормаль утворюють праву трійку векторів; іншими словами з кінця нормалі, початок якої лежить в площині, видно три точки, якими задається площина, в порядку руху годинникової стрілки. Конструктор класу, що описується, приймає також логічний параметр, який визначає, чи буде видно точки в напрямі руху годинникової стрілки (за замовчуванням цей параметр істинний).

### 2.1.8 Particle

Клас, що описує елементарну частинку. Є успадкованим від класу `Point`. Додано поля для збереження вектора руху, а також поле типу `real`, що визначає час існування частинки в секундах (якщо значення від'ємне, час вважається не заданим).

### 2.1.9 Sphere

Клас для представлення сфери. Має поля для збереження точки – центру сфери, а також числа типу `real` – радіуса сфери.

### 2.1.10 Object3D

Клас, призначений для збереження координат полігонів тривимірних тіл. При конструюванні кожного об'єкта обчислюються і пишуться у дві відповідні точки (об'єкти `Point`) максимальні та мінімальні координати тіла за всіма осями. Клас успадковано від класу `Sphere` – центр шукається як середина відрізка, що сполучає дві вищеописані точки, радіус – як половина довжини цього відрізка; таким чином виходить, що ці параметри задають сферу, описану навколо тіла. Це наслідування є корисним при перевірці, чи перетинає траєкторія частинки тіло – спочатку перевіряється, чи перетинає пряма траєкторія сферу, якщо так – виконується перевірка для кожного полігону циклічно. Як параметр конструктора об'єкта приймається також вектор, що задає напрям руху тіла (за замовчуванням співпадає з віссю

ОХ). Також в класі визначено метод для пошуку повної поверхні тіла – вона обчислюється як сума площ всіх полігонів, з яких це тіло складається.

### 2.1.11 GenerativeSphere

Клас, призначений для генерації елементарних частинок. Є нащадком класу Sphere. По суті являє собою сферу, центр якої співпадає з центром тіла, а радіус має перевищувати радіус тіла. Полями класу є генератори випадкових чисел, за допомогою яких для кожної частинки генерується випадковим чином швидкість (один генератор для кожного типу частинок – іонів та електронів), а також посилання на об'єкт, що представляє собою власне тіло (типу Object3D). В класі наявні методи для генерації частинок наступним чином:

1. частинки, що в початковий момент часу свого існування лежать всередині сфери і траєкторія яких не обов'язково перетинає тіло;
2. частинки, що в початковий момент часу свого існування лежать на сфері і траєкторія яких перетинає тіло;

## 2.2 Опис геометричних функцій

### 2.2.1 Перевірка, чи знаходиться точка всередині трикутника

Перевірка виконується для точки, що знаходиться в площині трикутника.

#### Спосіб 1

Виконується перевірка, чи не співпадає точка з однією з вершин трикутника. Після цього шукаються кути між всіма парами векторів, початок яких знаходиться в даній точці, а кінець співпадає з вершиною трикутника. Очевидно, що якщо всі кути будуть тупими, тобто всі косинуси від'ємними, то точка лежатиме всередині трикутника. Також очевидно, що якщо три або два кути виявляться гострими, то точка лежить за межами трикутника. Інакше за допомогою стандартної функції знаходження арккосинуса шукаємо суму всіх кутів. Неважко побачити, що для точок, які не належать трикутнику, ця сума буде менше за  $2\pi$ .

## Спосіб 2

Для кожної пари вершин трикутника виконаємо перевірку: проведемо через них пряму і визначимо, чи лежить точка і третя вершина в одній і тій самій півплощині відносно цієї прямої. Для цього знайдемо проекцію третьої вершини на пряму і косинус кута, вершиною якого є дана проекція, а сторони проходять через задану точку і третю вершину трикутника. Якщо синус від'ємний, то кут є тупим, тобто точка і третя вершина трикутника лежить в різних півплощинах – перевірка не виконалась. Якщо для кожної пари вершин ця перевірка виконається, то точка лежатиме всередині трикутника. Інакше – ні.

### 2.2.2 Пошук точки перетину прямої і площини

Як відомо, пряма в просторі (тут і далі мається на увазі тривимірний Евклідов простір) може бути задана трьома параметричними рівняннями

$$\begin{cases} x = A_x - k(B_x - A_x) \\ y = A_y - k(B_y - A_y) \\ z = A_z - k(B_z - A_z) \end{cases}, \quad (6)$$

де  $A, B$  – точки, через які проведено пряму. В цьому випадку кожна її точка задається єдиним значенням коефіцієнта. В обох описаних нижче способах ми знаходимо коефіцієнт точки перетину прямої і площини.

## Спосіб 1

В канонічне рівняння площини, проведеної через 3 точки  $A, B$  і  $C$

$$\begin{vmatrix} x - A_x & y - A_y & z - A_z \\ B_x - A_x & B_y - A_y & B_z - A_z \\ C_x - A_x & C_y - A_y & C_z - A_z \end{vmatrix} = 0 \quad (7)$$

підставимо координати з рівнянь 6. Отримаємо лінійне рівняння відносно коефіцієнта  $k$ . Розв'язавши його, отримаємо коефіцієнт шуканої точки перетину.

## Спосіб 2

У відоме векторне рівняння площини

$$\bar{n} \cdot \overline{AX} = 0 \quad (8)$$

(де  $\bar{n}$  – нормаль площини,  $P$  – задана точка на площині, а  $X$  – довільна точка площини) підставляємо замість  $X$  точку з координатами, взятими з параметричного рівняння прямої 6. Отримаємо лінійне рівняння відносно коефіцієнта  $k$ . Розв'язавши його, отримаємо коефіцієнт шуканої точки перетину.

### 2.2.3 Пошук проекцій

#### Пошук проекції точки на пряму

Щоб точка на прямій була проекцією заданої точки, необхідно виконання двох умов:

1. Її координати мають задовольняти рівняння прямої 6;
2. Вектор з точки до її проекції має бути перпендикулярним направляючому вектору прямої:  $\overline{PP'} \cdot \bar{n} = 0$ .

Підставляючи замість координат проекції  $P'$  координати з рівнянь 6, отримуємо коефіцієнт точки перетину.

#### Пошук проекції точки на площину

Шукана точка – точка перетину прямої (направляючий вектор якої дорівнює нормалі площини; пряма проходить через задану точку) та заданої площини. Пошук перетину прямої і площини описаний в 2.2.2.

### 2.2.4 Пошук відстаней

#### Відстань між двома точками

Знаходиться за відомою формулою

$$\rho(x, y) = \sqrt{\sum_{i=1}^3 (x_i - y_i)^2} \quad (9)$$

### Відстань між точкою та площиною

Знаходимо проекцію точки на площину і підставляємо в формулу 9.

#### 2.2.5 Перевірка, чи перетинає пряма сферу

Неважко побачити, що у випадку, коли пряма перетинає сферу, проекція центру сфери на пряму не буде лежати зовні сфери. Тобто, необхідно лише знайти відстань (див. 2.2.4) між центром сфери і його проекцією (див. 2.2.3) на задану пряму та переконатись, що ця відстань не перевищує радіус сфери.

#### 2.2.6 Поворот точки навколо прямої

Знайдемо проекцію точки на пряму – точку  $P'$ . Введемо двовимірну систему координат: одиничний вектор (орт) осі абсцис  $\bar{i}$  співпадатиме з вектором  $\overline{P'P}$ , а для осі ординат  $\bar{j}$  буде одночасно перпендикулярним до осі абсцис та направляючого вектора прямої (знайдемо його як векторний добуток направляючого вектора і першої осі); також вісь ординат нормалізуємо і домножимо на довжину осі абсцис, щоб система була декартовою. Очевидно, що шукана точка знаходиться саме в отриманій площині. Як відомо, на площині координати повороту точки навколо початку координат задаються наступною формулою:

$$\begin{cases} x' = x \cdot \cos\alpha - y \cdot \sin\alpha \\ y' = x \cdot \sin\alpha + y \cdot \cos\alpha \end{cases}$$

Також очевидно, що початкова точка в новій системі матиме координати  $(0;1)$ , отже формула повороту для неї перепишеться як

$$\begin{cases} x' = -y \cdot \sin\alpha \\ y' = y \cdot \cos\alpha \end{cases}$$

Тепер залишилось перейти від двовимірних координат назад до трьохмірних – для цього необхідно до координат точки  $P'$  додати зміщення  $x'\bar{i} + y'\bar{j}$ .

### 2.2.7 Геометричні функції, в яких використовуються випадкові величини

#### Отримання випадкової точки всередині сфери

Обираємо випадковий вектор (кожна з його координат являє собою рівномірно розподілену випадкову величину з проміжку  $[-0.5, 0.5]$ ), нормалізуємо, домножуємо на випадкову величину, що приймає значення  $[0, R]$  ( $R$  – радіус сфери) і додаємо отриманий вектор до центру сфери. Випадкову величину, на яку домножується вектор, обираємо  $\sqrt{R * \xi}$ , де  $\xi$  – рівномірно розподілена випадкова величина з проміжку  $[0, R]$ . Це робиться для того, щоб отримані таким чином випадкові точки були рівномірно розподілені всередині сфери, а не розташовувались більш щільно до центру.

#### Отримання випадкової точки, що лежить на сфері

Обираємо випадковий вектор (кожна з його координат являє собою рівномірно розподілену випадкову величину з проміжку  $[-0.5, 0.5]$ ), нормалізуємо, домножуємо на радіус сфери і додаємо отриманий вектор до центру сфери.

## 2.3 Опис типів даних і функцій для роботи з часом і випадковими величинами

Для генерації випадкових величин, що мають визначені розподіли з заданими параметрами, було написано декілька класів-обгорток навколо класів стандартної бібліотеки мови C++.

### 2.3.1 UniformDistributionGenerator

Клас, що представляє рівномірний розподіл. За допомогою функції `getUniformDistributionGenerator`, яка приймає в якості параметрів максимальне і мінімальне можливі значення випадкової величини, можна отримати об'єкт цього класу з заданими параметрами. Також наявна функція `getRandom`, яка не має аргументів і повертає рівномірно розподілену величину з проміжку  $[0, 1]$ .

### 2.3.2 GaussianDistributionGenerator

Клас, що представляє нормальний розподіл. За допомогою функції `getGaussianDistributionGenerator`, яка приймає в якості параметрів математичне сподівання і дисперсію випадкової величини, можна отримати об'єкт цього класу з заданими параметрами. Для цього і попереднього класу визначено єдиний метод – оператор "круглі дужки при виклику якого повертається щойно-згенероване випадкове число.

### 2.3.3 MaxwellDistributionSpeedGenerator

Аліас для типу "функція, що повертає значення типу `float` і не приймає жодного параметра" (`function<float ()>`). За допомогою функції `getMaxwellDistributionSpeedGenerator`, яка приймає в якості параметрів математичне сподівання і дисперсію випадкової величини, є можливість отримати об'єкт типу `MaxwellDistributionSpeedGenerator`. Оскільки випадкову величину, розподіл за максвелівським розподілом за модулем швидкостей, її отримати з трьох нормально розподілених випадкових величин ( $\sqrt{x_1^2 + x_2^2 + x_3^2}$ ), для генерації яких в тілі вищезгаданої функції використовується статичний об'єкт `GaussianDistributionGenerator`.

### 2.3.4 Функції для роботи з часом

При необхідності визначити час, за який виконалась та чи інша операція, використовується POSIX функція `clock_gettime`, яка зберігає в передачу структуру час вказаного таймера з точністю до наносекунд. В програмі використовується таймер, що задається константою `CLOCK_THREAD_CPUTIME_ID` і якому відповідає таймер центрального процесора, специфічний для даного потоку. Для роботи зі структурою, в яку записує результат вищезгадана функція, в програмі наявні функції `printTimespec` і `getTimespecDelta` – для зручного виводу і знаходження різниці в часі двох структур відповідно.

## 2.4 Опис функцій для роботи з масивами даних

Функції для роботи з даними є шаблонними. Вони потребують для об'єкту даних лише його розмір і наявність оператора "квадратні дужки" для



отримання елемента за індексом, а отже можуть працювати зі звичайними масивами, які відомі ще з мови C. В цьому відмінність даних функцій від стандартних алгоритмів `stl`, які працюють з ітераторами.

#### **2.4.1 reduce**

Функція приймає в якості аргументів функцію, масив з даними та його розмір. Функція, що є першим аргументом, спочатку застосовується до перших двох елементів масиву, потім до результату і третього елементу, і так далі. Дійшовши до останнього елементу, отримане значення повертається як результат роботи функції.

#### **2.4.2 map**

Функція приймає в якості аргументів функцію, масив з даними та його розмір. Функція, що є першим аргументом, має приймати в якості єдиного аргументу посилання на той тип даних, з елементів якого складається масив. Ця функція циклічно викликається для кожного елементу масива, змінюючи, якщо потрібно, його значення.

### **2.5 Опис функцій для роботи з файлами**

Тіло (космічний апарат) для роботи програми має уявляти собою набір трикутних орієнтованих полігонів. Для зчитування даних про тіло з файлу в програмі наявні описані далі функції.

#### **2.5.1 getCoordinatesFromPlainFile**

Функція приймає в якості єдиного аргументу масив символів, що представляє собою назву вхідного файлу. Координати полігонів в файлі мають розміщатись по 9 на строку, тобто 3 точки або один полігон. Розділені між собою координати мають бути пробілами або знаками табуляції. Рядки, з яких не вдається прочитати описані дані, пропускаються.

#### **2.5.2 getCoordinatesFromSpecialFile**

Функція приймає в якості єдиного аргументу масив символів, що представляє собою назву вхідного файлу. Ця функція використовує бібліотеку

ASSIMP, що позиціюється як бібліотека для завантаження і обробки різноманітних форматів даних геометричних сцен, і переводить дані, отримані за допомогою функцій бібліотеки у внутрішній формат програми.

На офіційному сайті бібліотеки зазначено підтримку наступних форматів даних [8]:

- textbfCollada ( \*.dae;\*.xml )
- textbfBlender ( \*.blend ) 3
- textbfBiovision BVH ( \*.bvh )
- textbf3D Studio Max 3DS ( \*.3ds )
- textbf3D Studio Max ASE ( \*.ase )
- textbfWavefront Object ( \*.obj )
- textbfStanford Polygon Library ( \*.ply )
- textbfAutoCAD DXF ( \*.dxf )
- textbfNeutral File Format ( \*.nff )
- textbfSense8 WorldToolkit ( \*.nff )
- textbfValve Model ( \*.smd,\*.vta )
- textbfQuake I ( \*.mdl )
- textbfQuake II ( \*.md2 )
- textbfQuake III ( \*.md3 )
- textbfQuake 3 BSP ( \*.pk3 )
- textbfRtCW ( \*.mdc )
- textbfDoom 3 ( \*.md5mesh;\*.md5anim;\*.md5camera )
- textbfDirectX X ( \*.x ).
- textbfQuick3D ( \*.q3o;\*.q3s ).

- textbfRaw Triangles ( \*.raw ).
- textbfAC3D ( \*.ac ).
- textbfStereolithography ( \*.stl ).
- textbfAutodesk DXF ( \*.dxf ).
- textbfIrrlicht Mesh ( \*.irmesh;\*.xml ).
- textbfIrrlicht Scene ( \*.irr;\*.xml ).
- textbfObject File Format ( \*.off ).
- textbfTerragen Terrain ( \*.ter )
- textbf3D GameStudio Model ( \*.mdl )
- textbf3D GameStudio Terrain ( \*.hmp )
- textbfOgre (\*.mesh.xml, \*.skeleton.xml, \*.material)3
- textbfMilkshape 3D ( \*.ms3d )
- textbfLightWave Model ( \*.lwo )
- textbfLightWave Scene ( \*.lws )
- textbfModo Model ( \*.lxo )
- textbfCharacterStudio Motion ( \*.csm )
- textbfStanford Ply ( \*.ply )
- textbfTrueSpace ( \*.cob, \*.scn )

Також в модулі з функціями для обробки файлів присутня змінна, що задає масштаб (за замовчуванням дорівнює одиниці) – наприклад, на випадок, якщо розміри тіла вимірюються в міліметрах.

## 2.6 Опис функцій для розв’язання крайової задачі

Ці функції реалізовані в модулі, що написаний мовою Fortran-90, або є обгортками для них.

### 2.6.1 solveBoundaryProblem

Функція є обгорткою для функції `laplace_` із зовнішнього модуля. Викликається на початку роботи програми. Приймає аргументом масив полігонів космічного апарату і розв'язує крайову задачу, що описана вище, ініціалізуючи внутрішні змінні, необхідні для подальшої роботи.

### 2.6.2 resultf\_

Функція приймає в якості аргументів точку простору, в якій знаходиться частинка, а також покажчик на число з плаваючою комою подвійної точності, куди буде збережено потенціал в точці, і покажчик на вектор, куди буде збережено градієнт в точці. Для обчислення цих величин використовуються дані, згенеровані функцією `laplace_`.

### 3 Математичний і програмний опис алгоритму

#### 3.1 Опис розв'язання

В даній роботі проводиться пряме моделювання методом Монте-Карло. При такому підході виконується моделювання окремих частин фізичної системи, для прискорення розрахунків допускається застосування деяких фізичних наближень. В нашому випадку елементи фізичної системи – це штучний супутник і велика кількість елементарних частинок, для яких реалізується стохастичний процес їх руху і зіткнення із літальним апаратом.

Для моделювання електризації були взяті характеристики навколишнього середовища геостаціонарної орбіти [5]:

- модель плазми проста Максвелівська:
- Стан системи рівноважний, тому розподіл частинок плазми за абсолютним значенням швидкості відбувається за розподілом Максвела, функція розподілу якого має вигляд

$$F(v) = \left( \frac{m}{2\pi kT} \right)^{\frac{3}{2}} e^{-\frac{mv^2}{2kT}} 4\pi v^2$$

де  $v$  – швидкість частинки,  $m$  – маса частинки,  $k = 1.38 \cdot 10^{-23}$  Дж/к – постійна Больца,  $T$  – температура в градусах Кельвіна.

- зовнішні поля відсутні. Доведення: на частинки плазми діє магнітне поле Землі, яке змушує їх рухатись по кільцевим траєкторіям з т.зв. Ларморівським радіусом. Але цим полем можна знехтувати, так як Ларморівський радіус для електронів і іонів (протонів) високотемпературної плазми значно перевищує характерний розмір ШСЗ:

$$R_{le} = \frac{v_e \perp m_e}{eB} = \frac{3.37\sqrt{E_e}}{B} = \frac{3.37\sqrt{0.4 \cdot 10^3}}{3.1 \cdot 10^{-5}} = 2.1 \cdot 10^6 m \quad (10)$$

$$R_{li} = \frac{v_i \perp m_i}{eB} = \frac{145\sqrt{AE_i}}{B} = \frac{145\sqrt{1 \cdot 0.2 \cdot 10^3}}{3.1 \cdot 10^{-5}} = 6.6 \cdot 10^7 m \quad (11)$$

де  $A$  – заряд іона.

- частинки рухаються без зіткнень між собою, так як довжина вільного пробігу на геостаціонарній орбіті більша за характерні розміри ШСЗ:

на висоті 300 км дорівнює декільком кілометрам.

Тіло (космічний апарат) в програмі представляється як об'єкт типу Object3D. При цьому найважливішим полем цього об'єкту є поле polygons, що являє собою масив об'єктів-полігонів типу OrientedPlane – об'єкти цього типу відрізняються від об'єктів класу Plane тим, що зберігають в собі вектор нормалі до площини, яку представляють. Нормаль необхідна полігонам для чіткого визначення зовнішньої і внутрішньої сторони.

Для генерації частинок використовується декілька об'єктів типу GenerativeSphere – по одній сфері для кожного типу елементарних частинок. Сфера містить генератори типу MaxwellDistributionSpeedGenerator, за допомогою яких генерується швидкості елементарних частинок. Також у сфери є метод populateArray для заповнення масиву частинок.

За формулою 2 для обчислення щільності струму отримаємо струм, що проходить через одиницю площі поверхні генеруючої сфери. При цьому значення температури будемо брати з таблиці 1. Отримаємо наступну щільність для електронного і протонного струму відповідно:

$$1.6 \cdot 10^{-19} \cdot 1.2 \cdot 10^6 \cdot \sqrt{\frac{27.5 \cdot 10^3 \cdot 1.6 \cdot 10^{-19}}{2 \cdot \pi \cdot 9.1093829140 \cdot 10^{-31}}} = -0.000005334 A/m^2$$

$$1.6 \cdot 10^{-19} \cdot 1.3 \cdot 10^6 \cdot \sqrt{\frac{28 \cdot 10^3 \cdot 1.6 \cdot 10^{-19}}{2 \cdot \pi \cdot 1.67 \cdot 10^{-27}}} = 0.000000136 A/m^2$$

Знаючи радіус генеруючої сфери, маємо можливість знайти сумарний струм, що проходить через її поверхню. Для кожної елементарної частинки можна розглядати її траєкторію як частину загального струму. Для цього обчислені раніше загальний протонний і електронний струм розділимо на кількість протонів і електронів нашої моделі.

Дебаєвський радіус (радіус генеруючих сфер) обчислимо за формулою 1:

$$\sqrt{\frac{8.8541 \cdot 10^{-12} \cdot 0.25 \cdot 10^3 \cdot 1.6 \cdot 10^{-19}}{0.8 \cdot 10^6 \cdot (1.6 \cdot 10^{-19})^2}} = 131.414769518$$

(дані взято з таблиці 1).

В кожний момент часу ми можемо знайти заряд на поверхні космічного

апарату за формулою

$$Q = I \cdot t,$$

де  $t$  – час, що пройшов з початку спостереження,  $I$  – сумарний струм плазми на поверхні космічного апарату.

Також ми можемо знайти потенціал космічного апарату за формулою

$$U = \frac{Q}{C},$$

де  $C$  – електрична ємність космічного апарату. В розрахунках беремо її приблизне значення, що дорівнює електричній ємності сфери з тією ж площею поверхні (формула для сфери:  $C = 4\pi\epsilon_0 R$ ).

При цьому система має такі параметри:  $n$  – кількість частинок, присутніх в системі в кожному одиницю часу,  $R$  – радіус сфери, на якій будуть генеруватись частинки (між  $n$  і  $R$  існує залежність, оскільки кількість частинок визначається об'ємом сфери, всередині якої вони знаходяться) і  $\Delta t$  – часовий крок.

Програма дозволяє проводити моделювання як із врахуванням власного електричного поля КА, так і без нього.

Розглянемо, як обчислюється зміна траєкторії частинок при врахуванні електричного поля.

За допомогою підпрограми на фортрані знаходимо вектор градієнту  $G$  в бажаній точці. Як відомо, напруженість електричного поля  $E$  має зворотній напрям:

$$E = -G.$$

Щоб знайти величину напруженості в точці, застосуємо закон Кулона для знаходження напруженості на відстані  $r$  від сфери, що має заряд  $q_S$ :

$$|E| = \frac{1}{4 \cdot \pi \cdot \epsilon_0} \cdot \frac{q_S}{R^2},$$

де  $R$  – відстань від точки до центру сфери.

Отже, знайшовши вектор напруженості, змінюємо його довжину на цю величину.

Електричне поле діє на частинку із силою

$$F = q \cdot E,$$

де  $q$  – заряд частинки. Звідси, а також із другого закону Ньютона

$$F = m \cdot a,$$

знаходимо прискорення частинки:

$$a = \frac{E \cdot q}{m}.$$

Знаючи прискорення, знаходимо відстань, що пройде частинка, та її нову швидкість:

$$S = V \cdot t + G \cdot \frac{q}{m} \cdot \frac{t^2}{2}$$

$$V = V_0 + a \cdot t,$$

де  $t$  – крок часу, з яким проводиться моделювання.

Оскільки знайдена відстань є векторною величиною, можемо знайти координати нового положення частинки, виконавши зсув попереднього її положення на цей вектор:

$$P = P_0 + S.$$

### 3.2 Режими роботи програми

Програма має три режими роботи (бажаний режим задається аргументом командного рядка):

1. Моделювання без урахування електричного поля космічного апарату – після створення об'єкту частинки (Particle) за допомогою функції `getIndexOfPolygonThatParicleIntersects` визначається, чи перетинає траєкторія частинки космічний апарат, а якщо перетинає – який саме його полігон. Далі знаходиться шлях, що має пройти частинка до зіткнення з апаратом або до того, як вона покине межі генеруючої сфери. На основі цього шляху і швидкості частинки рахується час, який вона повинна існувати. Далі на кожному кроці цей час зменшується на час кроку, а положення частини змінюється відповідно до вектору швид-



кості. Коли час існування частинки стає недодатнім, вона видаляється з масиву частинок. Заряд апарату збільшується на відповідну величину (заряд частинки помножений на відношення реальної щільності частинок до їх щільності у моделі; це відношення зберігається у змінній `Globals::realToModelNumber`), якщо частинка перетинає апарат (це справедливо і для подальших режимів).

2. Моделювання з урахуванням електричного поля космічного апарату (оптимізоване для найшвидшого обчислення) – в ході моделювання всі частинки помічаються відповідним типом: частинка має невизначену поведінку, частинка зіткнеться з космічним апаратом або частинка не зіткнеться з апаратом (при створенні всі частинки помічаються як такі, поведінка яких не визначена). Для кожної частинки виконуються такі операції:

- Знаходиться відстань від частинки до поверхні космічного апарату. Якщо вона нульова (тобто частинка вже зіткнулась з апаратом) або менша за відстань, яку частинка проходить за один крок часу, то частинка помічається як така, що зіткнеться з апаратом (якщо її траєкторія перетинає апарат) або як така, що не зіткнеться (якщо не перетинає). При цьому заряд частинок і електричне поле апарату не беруться до уваги, бо вважається, що він уже не встигне істотно змінити траєкторію частинки.
- Якщо відстань до апарату велика (більше одного кроку), то для точки, в якій знаходиться частинка обчислюється градієнт і електричний потенціал за допомогою функції `resultf_` (описаної вище). Далі за описаним алгоритмом положення і швидкість частинки, на яку діє електричне поле, змінюється. Далі за допомогою функції `getIndexOfPolygonThatParicleIntersects` визначається, чи перетинає траєкторія частинки апарат. Якщо перетинає, і заряд частинки за знаком протилежний заряду апарату, то частинка помічається як така, що зіткнеться з апаратом. Час, який частинка буде існувати, обчислюється як час, через який вона зіткнеться з апаратом. Якщо ж частинка не перетинає апарат і має заряд

того ж знаку, що й апарат, то вона помічається як така, що не перетне апарат.

Слід також зазначити, що частинки видаляються з масиву (знищуються) тоді, коли час їх існування (час, відведений їм на існування) стає недодатнім, або коли частинка полишає межі генеруючої сфери. Тому коли ми знаємо, що частинка не зіткнеться з апаратом, можемо виставити їй досить великий час існування, і її буде видалено, як тільки вона вилетить за межі сфери.

З метою прискорення обчислень, траєкторія частинок, помічених як такі, що перетинають або не перетинаються сферу (на відміну від частинок, поведінка яких ще не визначена, і на траєкторію яких ще може вплинути електричне поле апарату), змінюється так само, як в першому режимі роботи, тобто змінюється лише час існування (час, що залишився) і положення частинки.

3. Моделювання з урахуванням електричного поля космічного апарату (найбільше підходить для візуалізації процесу) – цей режим подібний до другого режиму, але частинки, що знаходяться більше, ніж на один крок від апарату, ніколи не помічаються як такі, що зіткнуться або не зіткнуться з апаратом. Це зроблено для того, щоб наочно продемонструвати, як траєкторія частинок змінюється під дією електричного поля апарату (у другому режимі цього не видно, бо коли стає очевидно, що частинка зіткнеться або не зіткнеться з апаратом, вона помічається відповідним чином і її траєкторія замінюється прямолінійною).

В програмі реалізовано багатопоточність засобами бібліотеки Pthread (використовуються потоки, що надаються операційною системою). Розпаралелювання відбувається на етапі обробки масиву частинок, тобто кожний потік обробляє свою частину масиву. Кількість потоків задається відповідним аргументом командного рядка.

### 3.3 Опис інтерфейсу програми

Параметри запуску програми наступні:

**program [OPTIONS] <filename>**

## OPTIONS:

**-s TIME** – час паузи в мікросекундах після кожної ітерації (за замовчуванням 0)

**-m** – індикатор, що вказує на необхідність моделювати частинки (без нього буде лише зображуватись модель апарату, або взагалі нічого не відбудеться, залежно від інших опцій)

**-v** – режим більш детального виводу

**-d** – індикатор, що вказує на необхідність зображувати (використовуючи виклики бібліотеки OpenGL) космічний апарат і елементарні частинки (якщо заданий індикатор -m)

**-j** – індикатор, що вказує на необхідність зображувати окрім самих частинок також їх траєкторії (має сенс лише при використанні разом з -d)

**-a** – індикатор, що вказує на необхідність зображувати осі координат (має сенс лише при використанні разом з -d)

**-c CHARGE** – початковий заряд на поверхні космічного апарату (за замовчуванням -0.0000005)

**-f SF** – коефіцієнт масштабу для файлу даних; за замовчуванням 1 (якщо, наприклад, координати задано в міліметрах, необхідно виставити даний параметр 0.001)

**-n N** – загальна кількість частинок в кожний момент часу

**-i INTERVAL** – інтервал, з яким будуть виводитись дані спостережень (час, потенціал, заряд); якщо вказаний з префіксом 's', інтервал інтерпретується як час в секундах, з індексом 'i' – як кількість ітерацій.

**-p STEP** – крок однієї частинки (середньої), заданий в довжинах космічного апарату (за замовчуванням 0.25)

**-x** – індикатор, який показує, що зміст файлу з даними слід інтерпретувати як складний формат даних (детальніше – у секції 2.5)

**-h NUM** – кількість потоків (за замовчуванням 1)

**-o NUM** – режим моделювання: 1, 2 або 3 (детальніше – у секції 3.2) (за замовчуванням 2)

Програма через задані проміжки часу виводить в строку: заряд на поверхні космічного апарату, потенціал, час і кількість зіткнень частинок з КА.

### 3.4 Результати роботи програми

#### 3.4.1 Зображення космічних апаратів

Побудова моделей апаратів з файлів даних [9].

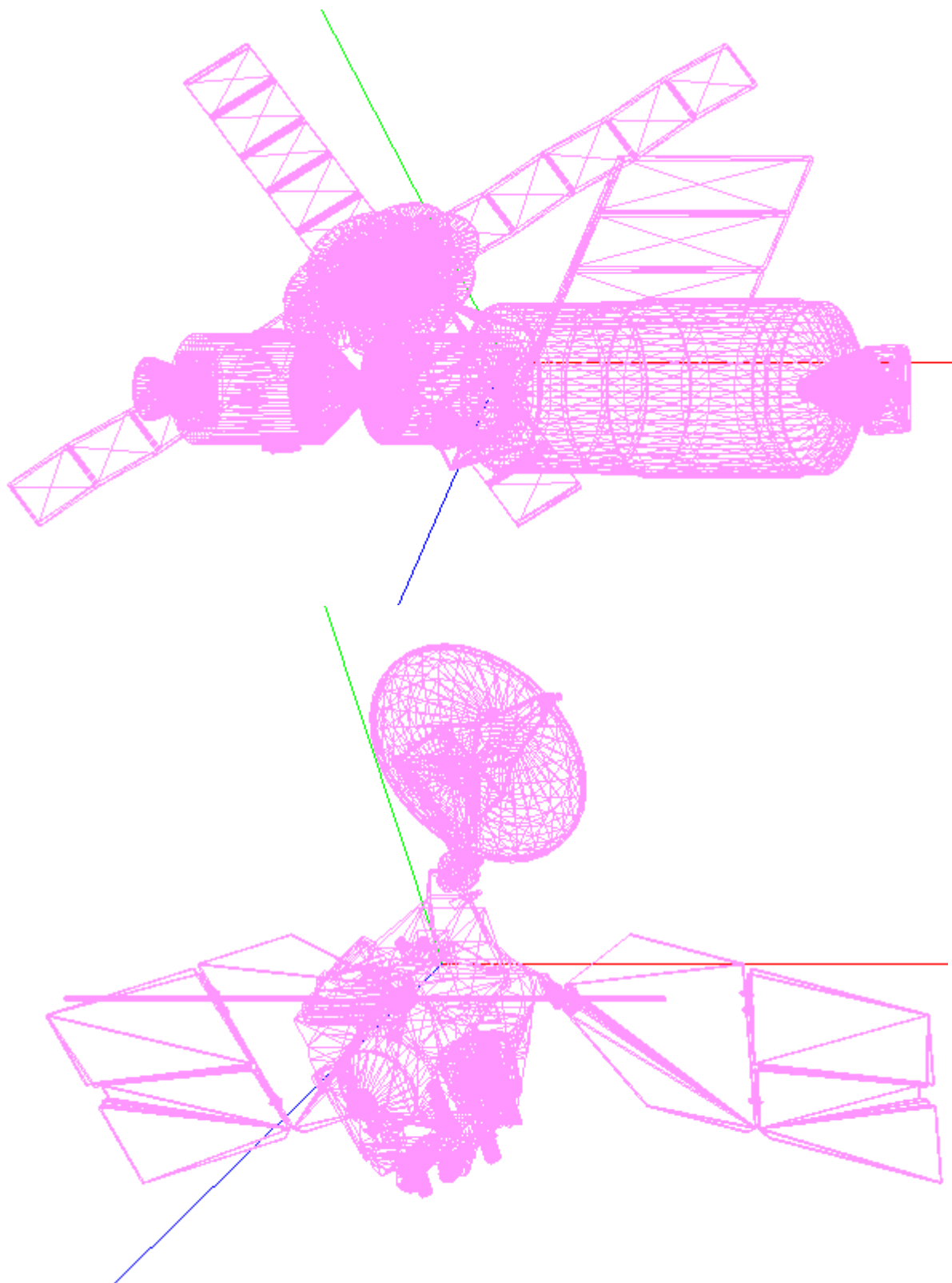


Рис. 1: Моделі космічних апаратів

### 3.4.2 Зображення частинок, що моделюються

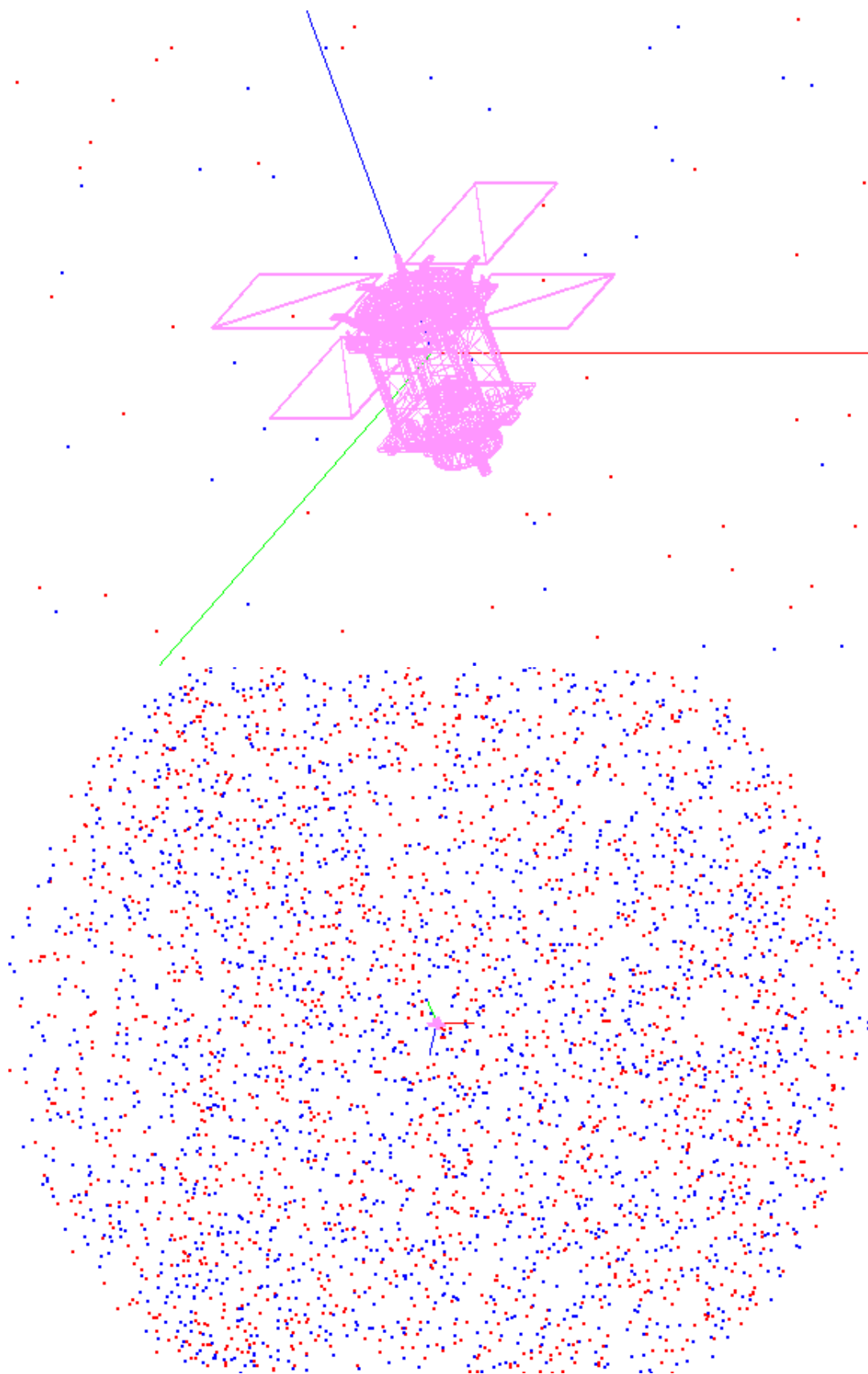


Рис. 2: Моделі космічних апаратів та елементарних частинок

На рисунку 2 зверху показано космічний апарат у наближенні. В нижній частині камеру віддалено достатньо для того, щоб побачити, що все моделювання відбувається в межах сфери.

Також слід зазначити, що сині точки позначають електрони, а червоні – іони.

### 3.4.3 Результати спостережень

Зміна заряду (за час 0.00025 секунди)

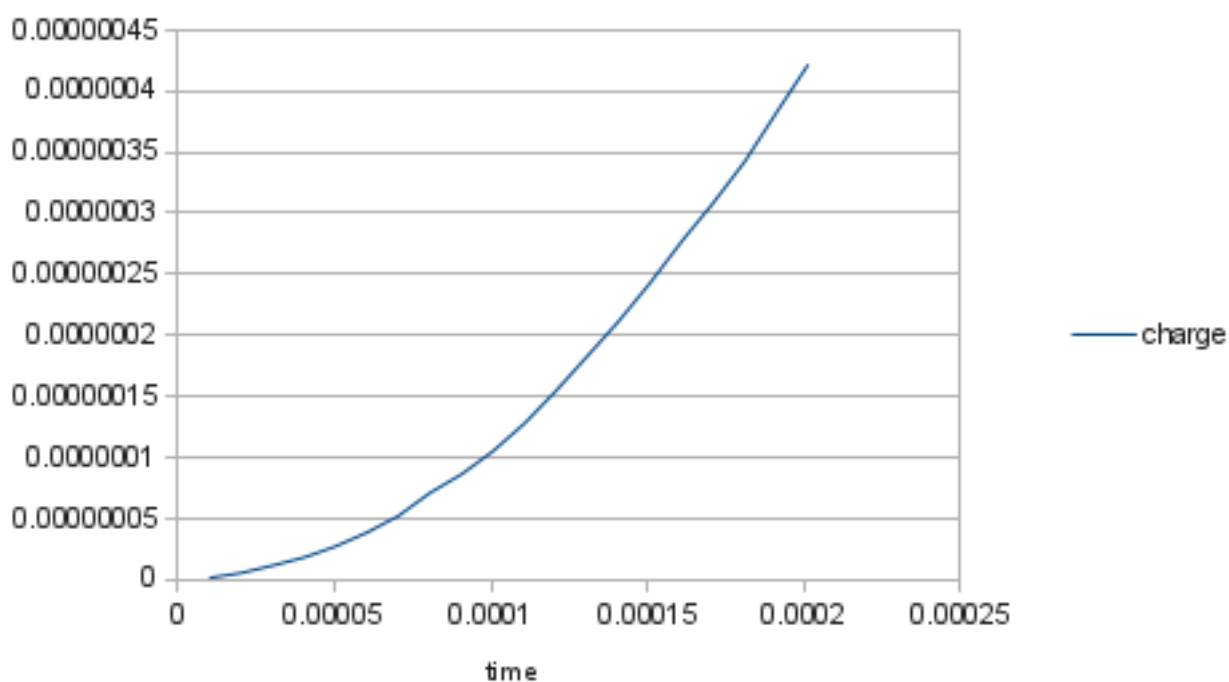


Рис. 3: Зміна заряду

Зміна потенціалу (за час 0.00025 секунди)

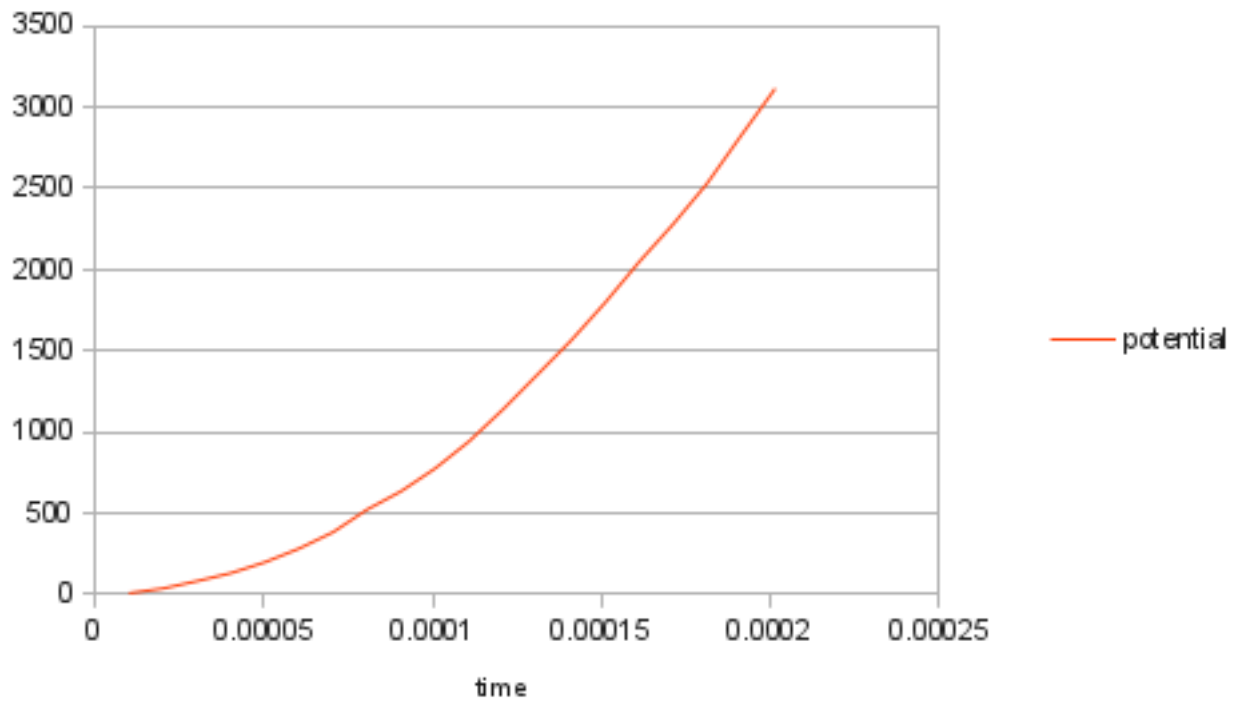


Рис. 4: Зміна потенціалу

Сумарна кількість зіткнень частинок (в цифрах реальної системи) з космічним апаратом (за час 0.00025 секунди)

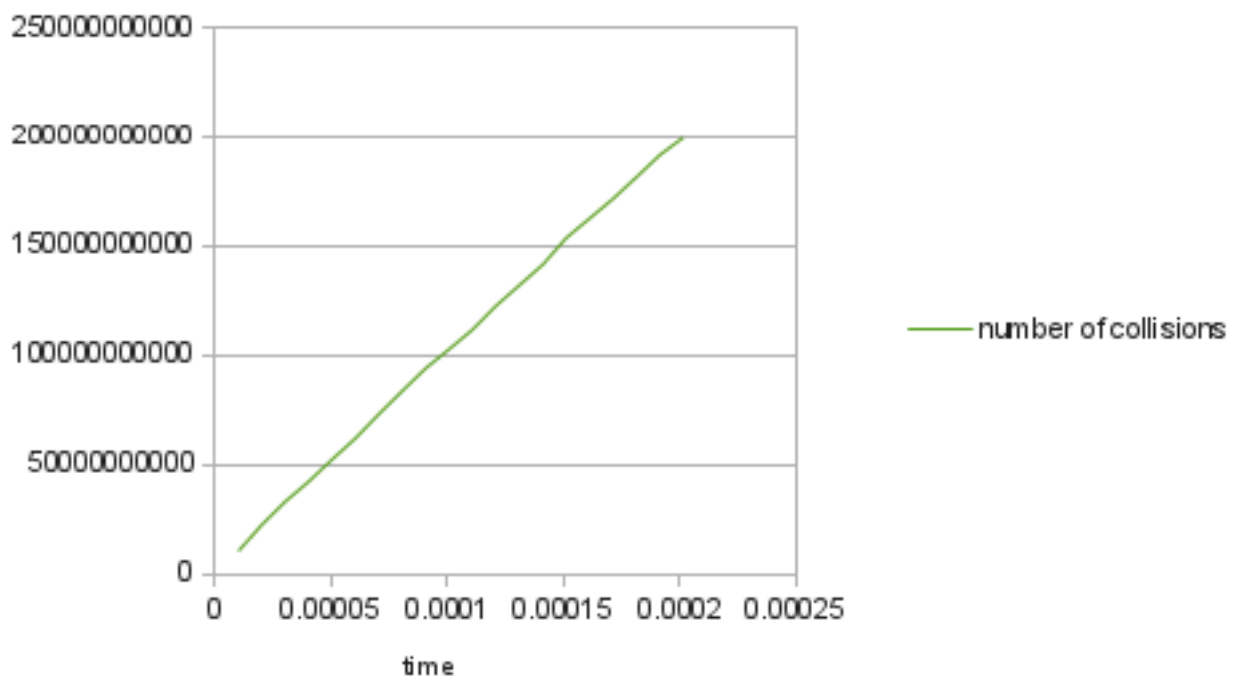


Рис. 5: Сумарна кількість зіткнень

## 4 Охорона праці та безпека в надзвичайних ситуаціях

Люди, основним робочим інструментом яких є персональний комп'ютер (далі – ПК), проводять за ним майже весь свій робочий час. При цьому навіть незначний вплив шкідливих та небезпечних факторів може призвести до професійних захворювань, оскільки такі фактори діють впродовж тривалого часу. Тому надзвичайно важливим є дотримання вимог нормативних документів, які розроблено згідно з науковими дослідженнями у сфері безпечної організації робіт з експлуатації ПК та з урахуванням положень міжнародних нормативно-правових актів з цих питань, щодо обладнання робочих місць користувачів ПК, роботи із застосуванням ПК.

### 4.1 Характеристики робочого приміщення

Робота виконується на підприємстві, що займається розробкою програмного забезпечення. Розглядається одне з трьох робочих приміщень. Площа приміщення складає 11.7 м<sup>2</sup>. Висота приміщення складає 3.2 м. Об'єм повітря – 37.4 м<sup>3</sup>. Кількість людей, що працюють у приміщенні – двоє. Отже, на одну людину припадає 5.85 м<sup>2</sup> площі.

Кожне робоче місце складають:

1. Стіл
2. Монблочний ПК iMac12.1 MC812XX/A
3. Клавіатура Logitech K200
4. Оптична миша Sven RX-111
5. Навушники Plantronics 655 DSP
6. Джерело безперебійного живлення APC Back-UPS ES 525VA
7. Крісло поворотне з можливістю регулювання висоти крісла на нахилу спинки

Висота стола складає 165 см, кришка стола має розміри 75x150 см.

Максимально можлива висота крісла – 60 см, мінімально можлива – 48 см.



Всі ПК під'єднані до локальної бездротової мережі Wi-Fi, яка функціонує на основі бездротового маршрутизатора, що знаходиться у сусідньому приміщенні.

У горизонтальному перерізі приміщення має форму прямокутника зі сторонами 6.1 м та 1.92 м. У меншій стіні розташоване вікно висотою 165 см та шириною 170 см, що виходить на вулицю. У більшій стіні розташоване вікно висотою 155 см та шириною 165 см, що виходить у сусіднє приміщення. Вздовж цієї стіни розташовані столи.

Вікно на вулицю спрямоване на північний захід.

При недостатчі денного світла приміщення освітлюється лампами денного світла – над кожним робочим місцем розташовано по 4 лампи.

Стіни приміщення пофарбовані білою фарбою, стеля вкрита пластиковими панелями білого кольору розміром 60х60 см. Підлога вкрита лінолеумом сірого кольору.

Приміщення також обладнане кондиціонером Neoclima NS12LHB.

## **4.2 Шкідливі та небезпечні виробничі фактори**

Серед шкідливих та небезпечних факторів, що діють у приміщенні, можна назвати наступні [15]:

1. Пряма та відбита блискість
2. Підвищена чи знижена рухомість повітря
3. Розумове перенапруження
4. Перенапруження органів чуття
5. Електричний струм
6. Пожежна безпека
7. Електромагнітне випромінювання

Наслідком дії несприятливих виробничих факторів може бути професійне захворювання — патологічний стан людини, обумовлений роботою і пов'язаний з надмірним напруженням організму або несприятливою дією шкідливих виробничих факторів.

Серед професійних захворювань людей, що працюють з ПК, можна виділити такі:

1. Астноптичні скарги, викликані функціональними змінами нервово-м'язового апарата і кровопостачання ока внаслідок роботи з дисплеєм, а також проблемами з освітленням робочого місця, відблиском екрану, тремтінням та мерехтінням зображення, сухістю повітря.
2. Розлади функцій шлунково-кишкового тракту, серцево-судинної системи, скелетних м'язів, залоз внутрішньої секреції, шкіри, статеві системи – викликані фізіологічними порушеннями; частіше мають місце у працівників з високою та середньою тривалістю роботи за ПК.
3. Психологічні та поведінкові розлади – агресивність, нервозність, дратівливість, порушення сну, швидкий розвиток втоми.

#### **4.3 Аналіз відповідності робочого приміщення встановленим нормам**

##### **4.3.1 Відповідність вимогам до виробничих приміщень**

Площу та об'єм для одного робочого місця програміста визначають згідно з вимогами [14]. Площа має бути не менше  $6.0 \text{ м}^2$ , об'єм – не менше  $20.0 \text{ м}^3$ . Приміщення, що розглядається, не задовольняє цим нормам, оскільки на одну людину припадає  $5.85 \text{ м}^2$  площі і  $18.7 \text{ м}^3$  об'єму.

Приміщення знаходиться на першому поверсі, а отже його розташування не суперечить [14], де забороняється розташування приміщень з робочими місцями програмістів у підвалах і цокольних поверхах.

Згідно [13], заземлені конструкції, що знаходяться в приміщеннях, де розміщені робочі місця програмістів (батареї опалення, водопровідні труби, кабелі із заземленим відкритим екраном), мають бути надійно захищені діелектричними щитками або сітками з метою недопущення потрапляння працівника під напругу. Але в приміщенні, що розглядається, батарея знаходиться під металічним щитком, тобто потрапляння працівника під напругу не виключене. Отже, для відповідності приміщення нормам охорони праці металеві щитки батарей необхідно замінити на діелектричні.

Згідно [13], приміщення, де розміщені робочі місця програмістів, крім приміщень, у яких розміщені робочі місця програмістів, що працюють із серверами, мають бути оснащені системою автоматичної пожежної сигналізації. У приміщенні, що описується, системи автоматичної пожежної сигналізації відсутні. Їх необхідно встановити для відповідності приміщення нормам охорони праці.

Згідно [13], приміщення, де розміщені робочі місця програмістів, крім приміщень, у яких розміщені робочі місця програмістів, що працюють із серверами, мають бути оснащені вогнегасниками, кількість яких визначається згідно з вимогами Типових норм належності вогнегасників. У приміщенні, що описується, вогнегасники відсутні. Їх необхідно встановити для відповідності приміщення нормам охорони праці.

Згідно [13], ПК з периферійними пристроями повинні підключатися до електромережі тільки за допомогою справних штепсельних з'єднань і електророзеток заводського виготовлення. У штепсельних з'єднаннях та електророзетках, крім контактів фазового та нульового робочого провідників, мають бути спеціальні контакти для підключення нульового захисного провідника. Їхня конструкція має бути такою, щоб приєднання нульового захисного провідника відбувалося раніше, ніж приєднання фазового та нульового робочого провідників. Порядок роз'єднання при відключенні має бути зворотним. У приміщенні, що розглядається, ПК під'єднуються до мережі через джерело безперебійного живлення. І в електророзетках, і в штепсельних з'єднаннях джерел безперебійного живлення присутні спеціальні контакти для підключення нульового захисного провідника. Їхня конструкція відповідає вимогам [13].

Згідно [14], віконні прорізи приміщень для роботи з ПК мають бути обладнані регульованими пристроями (жалюзі, завіски, зовнішні козирки). Але в приміщенні, що розглядається, такі пристрої відсутні, через що пряме сонячне світло робить незручною роботу з дисплеєм ПК. Тому для відповідності нормам, необхідно встановити один з вищезазначених пристроїв.

Згідно [14], у приміщеннях з ПК слід щоденно робити вологе прибирання. У приміщенні ж, що розглядається, вологе прибирання робиться 1-2 рази на тиждень. Отже, для відповідності нормам, потрібно частіше робити

вологе прибирання.

Також для відповідності приміщення нормам, необхідно оснастити його аптечкою першої медичної допомоги [14].

Поряд з приміщенням, що розглядається, знаходиться кімната психологічного розвантаження, в якій є місце для занять фізичною культурою [16].

#### **4.3.2 Відповідність вимогам до ПК з периферійними пристроями**

ПК відповідають вимогам національних стандартів держав-виробників і мають в експлуатаційній документації відповідну позначку, як і вимагається в [13].

#### **4.3.3 Відповідність вимогам до організації робочого місця програміста**

Згідно [13], за потреби особливої концентрації уваги під час виконання робіт суміжні робочі місця програмістів необхідно відділяти одне від одного перегородками висотою 1,5 - 2 м. У приміщенні, що описується, відсутні перегородки між робочими місцями, хоча у працівників виникає потреба особливої концентрації уваги. Отже, для відповідності приміщення нормативним вимогам, такі перегородки мають бути встановлені.

Як було описано, робочі столи з ПК розташовані таким чином, що природне світло падає зліва [14].

Згідно [14], при розміщенні робочих столів з дисплеями ПК слід дотримувати відстань між бічними поверхнями дисплеїв 1.2 м. Ця вимога не дотримується – відстань складає 1 м. Тому для відповідності нормам необхідно збільшити відстань.

Також згідно [14], висота робочої поверхні робочого столу з дисплеєм має регулюватися в межах 680...800 мм, а ширина і глибина - забезпечувати можливість виконання операцій у зоні досяжності моторного поля (рекомендовані розміри: 600...1400 мм, глибина - 800...1000 мм). Але як було сказано вище, висота столів не регулюється, а глибина менша мінімальної рекомендованої. Отже, для відповідності столів нормам рекомендовано їх замінити.

Крісла повністю відповідають нормам, описаним в [14].

Робоче місце має бути обладнане підставкою для ніг, характеристики якої подані в [14]. Але в приміщенні, що розглядається, такі підставки відсутні. Отже, можна рекомендувати обладнати приміщення такими підставками.

Екран монітора знаходиться на відстані 60 см від очей користувача, що узгоджується з допустимою відстанню в [14].

Клавіатура розташовується на відстані 30 см від краю стола, що також узгоджується з [14].

За характером трудової діяльності робітники, що працюють в приміщенні, належать до першої професійної групи згідно з діючим класифікатором професій (ДК-003-95 і Зміна № 1 до ДК-003-95). Розробники програм (інженери-програмісти) – виконують роботу переважно з ПК та документацією при необхідності інтенсивного обміну інформацією з ПК і високою частотою прийняття рішень. Робота характеризується інтенсивною розумовою творчою працею з підвищеним напруженням зору, концентрацією уваги на фоні нервово-емоційного напруження, вимушеною робочою позою, загальною гіподинамією, періодичним навантаженням на кисті верхніх кінцівок. Робота виконується в режимі діалогу з ПК у вільному темпі з періодичним пошуком помилок в умовах дефіциту часу. Робітникам можна дати рекомендацію дотримуватися режиму праці при роботі з ПК, як описано в [14].

#### **4.3.4 Відповідність вимогам безпеки під час роботи з ПК з периферійними пристроями**

Згідно [13], після закінчення роботи ПК і периферійні пристрої повинні бути відключені від електричної мережі. Ця вимога не виконується, оскільки для збереження сеансу роботи ПК переводяться в режим зниженого електроспоживання.

### **4.4 Розрахунок пристрою заземлення для заданого типу ґрунту**

Розрахувати захисне заземлення в садовому ґрунті. Опір природного заземлювача складає  $R_{\Pi} = 10 \text{ Ом}$ , допустимий опір заземлювача  $R_{\text{д}} =$

4 Ом, питомий опір садового ґрунту  $\rho = 50 \text{ Ом}\cdot\text{м}$  [17]. Коефіцієнт сезонності  $\psi = 1.3$ . Глибина залягання електрода  $h = 0.6 \text{ м}$ .

Контур заземлення виконують зі сталевих прутів. В траншеї глибиною до 0.7 м вертикально забиваються стрижні, а верхні кінці, що виступають із землі, з'єднуються зварюванням сталевою смугою або прутом.

При цьому необхідно дотримуватися наступних умов [18]:

1. Переріз з'єднувальної смуги має бути не менше  $48 \text{ мм}^2$ , товщина – не менше 4 мм.
2. Мінімальний діаметр пруту – 10 мм.
3. Довжина стрижня має бути не менше 1.5..2 м, щоб досягти незамерзаючого шару ґрунту.

Виходячи з цього, в якості вертикальних електродів візьмемо пруту діаметром  $d = 0.015 \text{ м}$  і довжиною  $l = 3 \text{ м}$ .

Знаходимо допустимий опір штучного заземлювача:

$$R_{\text{ш}} = \frac{R_{\text{п}} \cdot R_{\text{д}}}{R_{\text{п}} - R_{\text{д}}} = \frac{10 \cdot 4}{10 - 4} = 6.67 \text{ Ом}.$$

Знаходимо відстань від поверхні землі до середини вертикального електрода:

$$t = h + \frac{l_{\text{в}}}{2} = 0.6 + 1.5 = 2.1 \text{ м}.$$

Приймаємо відстань між вертикальними електродами  $a = 3 \text{ м}$ .

Знаходимо опір одиничного вертикального заземлювача за [18]:

$$R_{\text{в}} = \frac{\rho \cdot \psi}{2 \cdot \pi \cdot l_{\text{в}}} \cdot \left( \ln \frac{2 \cdot l_{\text{в}}}{d} + \frac{1}{2} \cdot \ln \frac{4 \cdot t + l_{\text{в}}}{4 \cdot t - l_{\text{в}}} \right)$$

$$R_{\text{в}} = \frac{50 \cdot 1.3}{2 \cdot 3.14 \cdot 3} \cdot \left( \ln \frac{2 \cdot 3}{0.015} + \frac{1}{2} \cdot \ln \frac{4 \cdot 2.1 + 3}{4 \cdot 2.1 - 3} \right) = 22 \text{ Ом}.$$

Знаходимо орієнтовне число вертикальних заземлювачів:

$$n_{\text{орієнт}} = \frac{R_{\text{в}}}{R_{\text{ш}}} = \frac{22}{6.67} = 3.3.$$

Знаходимо за [18] орієнтовний коефіцієнт використання вертикальних

електродів:

$$\eta_{\text{В}}^{\text{орієнт}} = \frac{2.02}{n_{\text{орієнт}}} + 0.346 = 0.96.$$

Знаходимо число вертикальних заземлювачів:

$$n = \frac{R_{\text{В}}}{R_{\text{ш}} \cdot \eta_{\text{В}}^{\text{орієнт}}} = \frac{22}{6.67 \cdot 0.96} = 3.4.$$

Округляємо число електродів до 4 і знаходимо коефіцієнт використання вертикальних електродів:

$$\eta_{\text{В}} = \frac{2.02}{n} + 0.346 = 0.85.$$

Знаходимо довжину горизонтального електрода. При розташуванні електродів в ряд вона дорівнюватиме:

$$l_{\Gamma} = a \cdot (n - 1) = 3 \cdot (4 - 1) = 9 \text{ м.}$$

Приймаємо товщину горизонтального електрода  $b = 0.005 \text{ м.}$

Знаходимо опір горизонтального електрода:

$$R_{\Gamma} = \frac{\rho \cdot \psi}{2 \cdot \pi \cdot l_{\Gamma}} \cdot \ln \frac{2 \cdot l_{\Gamma}^2}{b \cdot h}$$

$$R_{\Gamma} = \frac{50 \cdot 1.3}{2 \cdot 3.14 \cdot 9} \cdot \ln \frac{2 \cdot 9^2}{0.005 \cdot 0.6} = 12.5 \text{ Ом.}$$

Знаходимо за [18] коефіцієнт використання горизонтального електрода:

$$\eta_{\Gamma} = \frac{1.5}{n} + 0.176 = 0.4.$$

Знаходимо опір штучного заземлювача:

$$R_{\text{ш}} = \frac{R_{\text{В}} \cdot R_{\Gamma}}{R_{\text{В}} \cdot \eta_{\Gamma} + n \cdot R_{\Gamma} \cdot \eta_{\text{В}}} = \frac{22 \cdot 12.5}{22 \cdot 0.4 + 4 \cdot 12.5 \cdot 0.85} = 5.36 \text{ Ом.}$$

Знаходимо загальний опір заземлювача:

$$R = \frac{R_{\Pi} \cdot R_{\text{ш}}}{R_{\Pi} + R_{\text{ш}}} = \frac{10 \cdot 5.36}{10 + 5.36} = 3.49 \text{ Ом.}$$

Оскільки опір заземлювача менше  $R_{\text{д}} = 4 \text{ Ом}$ , розрахунок виконаний

вірно.

#### 4.5 Висновок

Описано шкідливі та небезпечні фактори, що діють у приміщенні, а також професійні захворювання, які можуть стати наслідками дії цих факторів.

Дано розрахунок пристрою заземлення, встановлення якого підвищує електробезпеку.

Проведено заміри основних параметрів робочого приміщення та зроблено їх аналіз відповідно до чинних норм та правил охорони праці. При цьому виявлені порушення норм та дані рекомендації щодо їх виправлення.

Виправлення виявлених порушень зменшить ймовірність нещасних випадків, виробничого травматизму, професійних захворювань та збільшить продуктивність праці.



## Висновок

Було розроблено програмне забезпечення для моделювання руху літального апарату та зіткнення з ним елементарних частинок, що складають космічну плазму.

Отримана програма має зрозумілий інтерфейс командного рядка та формат вихідних даних. Завдяки використанню бібліотеки ASSIMP і власних функцій зчитування здатна працювати з вхідними файлами різноманітних форматів.

В програмі використано також наявні експериментальні дані, що були взяті з відповідної літератури.

За допомогою розробленого програмного забезпечення було проведено моделювання за статистичним методом Монте-Карло, було прослідковано зміну потенціалу космічного апарату і струмів на його поверхні з плином часу, а також кількість зіткнень елементарних частинок з космічним апаратом.

Також розроблена програма здатна візуалізувати процес моделювання, використовуючи графічну бібліотеку OpenGL та бібліотеку роботи з мультимедіа SDL.

Окрім того, розроблені в рамках програми модулі можуть використовуватись окремо від неї, оскільки кожен з них містить завершений функціонал деякого напрямку – це

- модуль з описом структур даних, що представляють геометричні примітиви і фізичні об'єкти
- модуль алгоритмів, що дозволяють змоделювати взаємодію цих об'єктів
- модуль з функціями для зручної генерації випадкових величин із заданим розподілом і параметрами
- невеликий, але зручний модуль обробки масивів даних
- модуль зчитування моделей апаратів і збереження їх в описану в програмі структуру

- модуль зображення частинок і полігональних об'єктів засобами OpenGL

З використанням розробленого програмного забезпечення було змодельовано і досліджено процес електризації космічних апаратів. На основі отриманих даних було побудовано графіки, що відображають залежність різних параметрів системи від часу.

На даному етапі було розглянуто дещо спрощену модель – струми частинок плазми на поверхні незарядженого тіла, але розроблене програмне забезпечення може слугувати базою для подальших досліджень – моделюванню руху частинок поблизу тіла, поверхня якого вже має деякий заряд.

## Література

- [1] Ю.И. Вакулин, О.С. Графодатский, В.И. Гусельников, В.И. Дегтярев, Г.А. Жеребцов, Ш.Н. Исляев, А.А. Кочеев, О.И. Платонов, Г.В. Попов, Л.Л. Фрумин *Основные геофизические закономерности электризации геостационарных спутников связи «Горизонт»*
- [2] А. М. Капулкин, В. Г. Труш, Д. В. Красношарпа: *Исследование плазменных нейтрализаторов для снятия электростатических зарядов с поверхности высокоорбитальных космических аппаратов*. ДНУ, 1994.
- [3] Sharp R.D., Shelley E.G., Johnson K.G., Paschmann G. *Preliminary Results of a Low Energy Particle Survey at Synchronous Altitude* JGR, 1970, Volume 75, P. 6092
- [4] DeForest S.E. *Spacecraft Charging at Synchronous Altitudes* JGR, 1972, Volume 77, P. 651-659
- [5] Новиков Л.С. *Взаимодействие космических аппаратов с окружающей плазмой* Учебное пособие. – М.: Университетская книга, 2006. – 120 с.
- [6] Metropolis N., Ulam S. *The Monte-Carlo method* J. Amer. Stat. Assos. 44, № 247, 1949
- [7] О.М. Белоцерковский, Ю.И. Хлопков: *Методы Монте-Карло в прикладной математике и вычислительной аэродинамике*.
- [8] [http://assimp.sourceforge.net/lib\\_html/index.html](http://assimp.sourceforge.net/lib_html/index.html) *ASSIMP - Open Asset Import Library*
- [9] [http://www.nasa.gov/multimedia/3d\\_resources/models.html](http://www.nasa.gov/multimedia/3d_resources/models.html) *National Aeronautics and Space Administration*
- [10] И. М. Соболев: *Метод Монте-Карло*. «Наука», Москва, 1968.
- [11] А.М. Макаров, Л.А. Луньова *Основы электромагнетизма* МДТУ ім. Н.Е. Баумана
- [12] Ільїн А. М. *Рівняння математичної фізики* Челябінськ, Челябінський державний університет, 2005

- [13] НПАОП 0.00-1.28-10 *Правила охорони праці під час експлуатації електронно-обчислювальних машин*
- [14] ДСанПіН 3.3.2-007-98 *Державні санітарні правила і норми роботи з візуальними дисплейними терміналами електронно-обчислювальних машин*
- [15] ГОСТ 12.0.003-74 *Опасные и вредные производственные факторы*
- [16] СНиП 2.09.04-87 *Административные и бытовые здания*
- [17] Буракова С.О. *Дипломне проектування. Розділи з охорони праці* Кам'янець-Подільський, 2010
- [18] Дзюндзюк Б.В. *Охорона праці. Збірник задач ХНУРЕ*, Харків, 2006

# Додаток

dr\_program/constants.h

```
#ifndef CONSTANTS_H
#define CONSTANTS_H

#include <cmath>

#define EXIT_ERR(msg) { cerr << msg << "\nerrno: " << errno << endl; Graphics::quitGraphics(1); }
#define PRINTLN(arg) cout << arg << endl
#define PRINT(arg) cout << arg && cout.flush()
#define COUT(args) cout << args << endl

// Particle types
#define PTYPE_ELECTRON 1
#define PTYPE_ION 0

// charges
extern double ELECTRON_ELECTRIC_CHARGE;
extern double ION_ELECTRIC_CHARGE;

// charge to mass ratio
extern double ELECTRON_CHARGE_TO_MASS;
extern double ION_CHARGE_TO_MASS;

// current density
extern double ELECTRON_CURRENT_DENSITY;
extern double ION_CURRENT_DENSITY;

#define PARTICLE_CHARGE(_particle_type) \
    ((_particle_type == PTYPE_ELECTRON)? ELECTRON_ELECTRIC_CHARGE: ION_ELECTRIC_CHARGE)

#define PARTICLE_CHARGE_TO_MASS(_particle_type) \
    ((_particle_type == PTYPE_ELECTRON)? ELECTRON_CHARGE_TO_MASS: ION_CHARGE_TO_MASS)

#define PARTICLE_CURRENT_DENSITY(_particle_type) \
    ((_particle_type == PTYPE_ELECTRON)? ELECTRON_CURRENT_DENSITY: ION_CURRENT_DENSITY)

typedef double real;
typedef float velocity;

extern velocity ORBITAL_VELOCITY;
//extern velocity ION_VELOCITY;
//extern velocity ELECTRON_VELOCITY;

extern real ELECTRON_VELOCITY_M;
extern real ELECTRON_VELOCITY_D;
extern real ION_VELOCITY_M;
extern real ION_VELOCITY_D;

// Debye radius
extern real ELECTRONS_GENERATIVE_SPHERE_RADIUS;
extern real IONS_GENERATIVE_SPHERE_RADIUS;

// particles density
extern int ELECTRONS_CONSISTENCE;
extern int IONS_CONSISTENCE;

extern double VACUUM_PERMITTIVITY;
// e0 ~ 8.854187817620*10^-12 F/m

#endif // CONSTANTS_H
```

dr\_program/constants.cpp

```
#include "constants.h"

velocity ORBITAL_VELOCITY = 7907.343098064;

real ELECTRONS_GENERATIVE_SPHERE_RADIUS = 131.414769518;
real IONS_GENERATIVE_SPHERE_RADIUS = ELECTRONS_GENERATIVE_SPHERE_RADIUS;

real ELECTRON_VELOCITY_M = 110901445.521404395; // 2*sqrt(2*1.6*10^-19*27.5*10^3/(9.11*10^-31*pi))
real ELECTRON_VELOCITY_D = 69497174.760350449; // sqrt(1.6*10^-19*27.5*10^3/(9.11*10^-31))
real ION_VELOCITY_M = 2613670.454744482; // 2*sqrt(2*1.6*10^-19*28*10^3/(1.67*10^-27*pi))
real ION_VELOCITY_D = 1637875.065607546; // sqrt(1.6*10^-19*28*10^3/(1.67*10^-27))
```

```
#ifndef DATA_UTILS_H
#define DATA_UTILS_H

// methods to be used on ranges of elements

namespace Data {
    // C - container type (vector or pointer to array)
    // T - type of values in container
    template <typename C, typename T>
    static T reduce(function<T& (T&,T&)> f,C container,int size) {
        T result = container[0];
        for(int i = 1;i < size;i++)
            result = f(result,container[i]);
        return result;
    }
}

#endif // DATA_UTILS_H
```

```
#ifndef READ_FILE_H
#define READ_FILE_H

#include <assimp/scene.h>
#include <assimp/Importer.hpp>
#include <assimp/postprocess.h>

#include <iostream>
#include <fstream>
#include <vector>
#include "types.h"

using namespace std;

typedef OrientedPlane PlaneType;

namespace File {
    extern float scaleFactor;

    vector<PlaneType*> getCoordinatesFromPlainFile(char*);
    vector<PlaneType*> getCoordinatesFromSpecialFile(char*);
}

#endif // READ_FILE_H
```

```
#include "file_utils.h"

float File::scaleFactor = 1; // by default coordinates are given in meters
```

```

vector<PlaneType>* File::getCoordinatesFromPlainFile(char *filename) {
    filebuf fb;
    if (!fb.open(filename, ios::in)) {
        cerr << "An error occurred while opening file" << endl;
        return NULL;
    }
    istream fileInputStream(&fb);
    vector<PlaneType>* coordinatesList = new vector<PlaneType>();
    ThreePoints *tempThreePoints;

    int i;
    while(!fileInputStream.eof()) {
        tempThreePoints = new ThreePoints();

        // read 3 points
        for (i = 0; i < 3; i++) {
            fileInputStream >> tempThreePoints->set[i].x
                           >> tempThreePoints->set[i].y
                           >> tempThreePoints->set[i].z;
            if (fileInputStream.fail()) {
                if (!fileInputStream.eof())
                    fileInputStream.clear();
                break;
            }
        }

        // if all values have been read successfully then push array to result list
        if (i == 3) {
            try {
                PlaneType *pt = new PlaneType(*tempThreePoints);
                coordinatesList->push_back(*pt);
                for (i = 0; i < 3; i++) {
                    coordinatesList->back().set[i].x *= scaleFactor;
                    coordinatesList->back().set[i].y *= scaleFactor;
                    coordinatesList->back().set[i].z *= scaleFactor;
                }
            } catch (ZeroNormal zn) {}

            // then delete it
            delete tempThreePoints;
            // skipping remaining characters in current string
            while (!fileInputStream.eof() && fileInputStream.get() != '\n');
        }

        fb.close();
        return coordinatesList;
    }
}

vector<PlaneType>* File::getCoordinatesFromSpecialFile(char *filename) {
    Assimp::Importer importer;
    aiScene *aiscene = (aiScene*)importer
        .ReadFile(filename, aiProcess_Triangulate|aiProcess_FixInfacingNormals|
            aiProcess_FindDegenerates
            |aiProcess_PreTransformVertices|aiProcess_OptimizeMeshes|
            aiProcess_FindInvalidData|aiProcess_RemoveRedundantMaterials);
    if (aiscene == NULL) {
        cerr << "An error occurred while opening file" << endl;
        return NULL;
    }
    vector<PlaneType>* coordinatesList = new vector<PlaneType>();
    ThreePoints *tempThreePoints;
    int failedNumber = 0;

    for(unsigned int i = 0; i < aiscene->mNumMeshes; ++i) {
        if (aiscene->mMeshes[i]->HasFaces()) {
            for(unsigned int j = 0; j < aiscene->mMeshes[i]->mNumFaces; ++j) {
                tempThreePoints = new ThreePoints();

                for(int k = 0; k < 3; k++) {
                    tempThreePoints->set[k].x = aiscene->mMeshes[i]->mVertices[aiscene->
                        mMeshes[i]->mFaces[j].mIndices[k]].x;
                    tempThreePoints->set[k].y = aiscene->mMeshes[i]->mVertices[aiscene->
                        mMeshes[i]->mFaces[j].mIndices[k]].y;
                    tempThreePoints->set[k].z = aiscene->mMeshes[i]->mVertices[aiscene->
                        mMeshes[i]->mFaces[j].mIndices[k]].z;
                }

                try {
                    PlaneType *pt = new PlaneType(*tempThreePoints);

```

```

        coordinatesList->push_back(*pt);
        for (int g = 0; g < 3; g++) {
            coordinatesList->back().set[g].x *= scaleFactor;
            coordinatesList->back().set[g].y *= scaleFactor;
            coordinatesList->back().set[g].z *= scaleFactor;
        }
    } catch (ZeroNormal zn) {
        ++failedNumber;
    }

    delete tempThreePoints;
}

failedNumber && cerr << "failed: " << failedNumber << " polygons" << endl;
return coordinatesList;
}

```

### dr\_program/geometry\_utils.h

```

#ifndef GEOMETRY_UTILS_H
#define GEOMETRY_UTILS_H

#include "types.h"
#include <algorithm>
#include <iostream>
#include <cmath>

#ifdef __GNUC__
#define DEPRECATED(func) func __attribute__((deprecated))
#elif defined(_MSC_VER)
#define DEPRECATED(func) __declspec(deprecated) func
#else
#pragma message("WARNING: You need to implement DEPRECATED for this compiler")
#define DEPRECATED(func) func
#endif

using namespace std;

struct ThreePoints;
struct Line;
struct Point;
struct Plane;
struct Sphere;
struct Vector;
struct Triangle;
struct Particle;
struct Object3D;

namespace Geometry {
    // geometry utils with random
    DEPRECATED(Point getRandomPointFromSphere(Sphere));
    Point getRandomPointFromSphere2(Sphere);
    Point getRandomPointOnSphere(Sphere);
    Vector getRandomOrthogonalVector(Vector);
    Point getRandomPointFromTriangle(ThreePoints&);

    // geometry utils returning distances and lengths
    real getDistanceBetweenPoints(Point, Point);
    real getDistanceBetweenPointAndPlane(ThreePoints&, Point);
    real getDistanceBetweenPointAndSphere(Sphere&, Point);
    real getChordLength(Sphere, Line);

    // geometry utils for intersections and projections calculation
    Point getPointOnPlaneProjection(ThreePoints&, Point);
    Point getPointOnLineProjection(Line, Point);
    DEPRECATED(Point getPlaneAndLineIntersection(ThreePoints&, Line));
    Point getPlaneAndLineIntersection2(ThreePoints&, Line);
    //Point getNearestObject3DAndParticleTrajectoryIntersection(Object3D&, Particle);
    int getIndexOfPolygonThatParicleIntersects(Object3D&, Particle);

    // geometry utils for conditions checking
    DEPRECATED(bool isPointInsideTriangle(ThreePoints&, Point));
    bool isPointInsideTriangle2(ThreePoints&, Point);
    bool doesLineIntersectTriangle(ThreePoints&, Line);
    bool isPointInsideParallelepiped(Point, Point, Point);
    bool doesParticlesTrajectoryIntersectObject(Particle&, Object3D&);
    bool doesLineIntersectParallelepiped(Line, Point, Point);
    bool doesLineIntersectSphere(Line, Sphere);
}

```



```

        // other geometry utils
        Point rotatePointAroundLine(Point, Line, double);
    }

#endif // GEOMETRY_UTILS_H

dr_program/geometry_utils.cpp

#include "geometry_utils.h"

using namespace std;

bool Geometry::isPointInsideTriangle(ThreePoints &t, Point k) {
    Vector v0(Point(0,0,0)), v1(k,t.a), v2(k,t.b), v3(k,t.c);
    if (v1 == v0 || v2 == v0 || v3 == v0)
        return true;
    real cos1 = v1.cos(v2), cos2 = v1.cos(v3), cos3 = v2.cos(v3);
    switch( sign(cos1) + sign(cos2) + sign(cos3) ) {
        case -3:
            return true;
        case 3:
        case 1:
            return false;
        default:
            // delta is required to prevent mashine imprecision
            real delta = 0.0001;
            return !(acos(cos1) + acos(cos2) + acos(cos3) < M_PI*2 - delta);
    }
}

bool Geometry::isPointInsideTriangle2(ThreePoints &t, Point k) {
    Point p = getPointOnLineProjection(Line(t.a,t.b),t.c);
    if (Vector(p,t.c).cos(Vector(p,k)) < 0)
        return false;
    p = getPointOnLineProjection(Line(t.c,t.b),t.a);
    if (Vector(p,t.a).cos(Vector(p,k)) < 0)
        return false;
    p = getPointOnLineProjection(Line(t.c,t.a),t.b);
    if (Vector(p,t.b).cos(Vector(p,k)) < 0)
        return false;
    return true;
}

// koefitsiyent tochki peresecheniya nakhodim podstavlyaya parametricheskiye uravneniya
// pryamoy
// v vektornoye uravneniye ploskosti
Point Geometry::getPlaneAndLineIntersection2(ThreePoints &plane, Line line) {
    real coef = plane.getNormal()*Vector(line.a, plane.a) /
        (plane.getNormal()*line.directionVector);
    return line.pointByCoef(coef);
}

Point Geometry::getPointOnPlaneProjection(ThreePoints& plane, Point p) {
    return getPlaneAndLineIntersection2(plane, Line(p, plane.getNormal()));
}

// this method is deprecated. use getPlaneAndLineIntersection2 instead.
// koefitsiyent tochki peresecheniya nakhodim podstavlyaya parametricheskiye uravneniya
// pryamoy
// v kanonicheskoye uravneniye ploskosti
Point Geometry::getPlaneAndLineIntersection(ThreePoints &plane, Line line) {
    real coef1 = (plane.b.y - plane.a.y)*(plane.c.z - plane.a.z) -
        (plane.c.y - plane.a.y)*(plane.b.z - plane.a.z);
    real coef2 = (plane.b.x - plane.a.x)*(plane.c.z - plane.a.z) -
        (plane.c.x - plane.a.x)*(plane.b.z - plane.a.z);
    real coef3 = (plane.b.x - plane.a.x)*(plane.c.y - plane.a.y) -
        (plane.c.x - plane.a.x)*(plane.b.y - plane.a.y);
    real coef = ((line.a.x - plane.a.x)*coef1 -
        (line.a.y - plane.a.y)*coef2 +
        (line.a.z - plane.a.z)*coef3) /
        (line.directionVector.x*coef1 - line.directionVector.y*coef2 +
        line.directionVector.z*coef3);

    // inf means that the line is parallel towards plane
    // nan means that the line belongs to plane
    if(std::isinf(coef) || std::isnan(coef)) {
        return Point(coef, coef, coef);
    }

    return line.pointByCoef(-coef);
}

```

```

// koeffitsiyent tochki peresecheniya nakhodim iz usloviya perpendikulyarnosti
// napravlyayushchego vektora
// pryamoy i vektora, obrazovannogo zadannoy tochkoy i yeye proyektiyey (v kachestve
// koordinat posledney
// berem parametricheskiye uravneniya pryamoy)
Point Geometry::getPointOnLineProjection(Line line, Point point) {
    real coef = line.directionVector*Vector(line.a, point) /
        (line.directionVector*line.directionVector);
    return line.pointByCoef(coef);
}

bool Geometry::doesLineIntersectTriangle(ThreePoints &triangle, Line line) {
    Point intersection = getPlaneAndLineIntersection2(triangle, line);
    if (std::isinf(intersection.x)) {
        cerr << "INF" << endl;
        //TODO: here should be checking whether the line intersects
        /// at least one of the triangles side
        /// for this function for finding two lines intersection should be
        /// implemented
        return false;
    }
    if (std::isnan(intersection.x)) {
        cerr << "NAN" << endl;
        return false;
    }
    bool retVal = isPointInsideTriangle2(triangle, intersection);
    return retVal;
}

Point Geometry::getRandomPointFromSphere(Sphere s) {
    Point randPoint;
    do {
        randPoint.x = (Time::getRandom()*2 - 1)*s.radius;
        randPoint.y = (Time::getRandom()*2 - 1)*s.radius;
        randPoint.z = (Time::getRandom()*2 - 1)*s.radius;
    } while (getDistanceBetweenPoints(randPoint, POINT_OF_ORIGIN) > s.radius);
    return s.center + Vector(POINT_OF_ORIGIN, randPoint);
}

Point Geometry::getRandomPointFromSphere2(Sphere s) {
    return s.center + Vector(Time::getRandom() - 0.5, Time::getRandom() - 0.5, Time::getRandom() - 0.5)
        .resized(sqrt(s.radius*Time::getRandom(0, s.radius)));
}

Point Geometry::getRandomPointOnSphere(Sphere s) {
    return s.center + Vector(Time::getRandom() - 0.5, Time::getRandom() - 0.5, Time::getRandom() - 0.5)
        .resized(s.radius);
}

Vector Geometry::getRandomOrthogonalVector(Vector v) {
    Vector a;
    if (v.x != 0) {
        a.y = Time::getRandom();
        a.z = Time::getRandom();
        a.x = (-v.y*a.y - v.z*a.z)/v.x;
    } else if (v.y != 0) {
        a.x = Time::getRandom();
        a.z = Time::getRandom();
        a.y = (-v.x*a.x - v.z*a.z)/v.y;
    } else if (v.z != 0) {
        a.y = Time::getRandom();
        a.x = Time::getRandom();
        a.z = (-v.y*a.y - v.x*a.x)/v.z;
    }
    return a;
}

real Geometry::getDistanceBetweenPoints(Point a, Point b) {
    return sqrt(pow(a.x - b.x, 2) + pow(a.y - b.y, 2) + pow(a.z - b.z, 2));
}

real Geometry::getDistanceBetweenPointAndPlane(ThreePoints& plane, Point p) {
    return getDistanceBetweenPoints(getPointOnPlaneProjection(plane, p), p);
}

real Geometry::getDistanceBetweenPointAndSphere(Sphere& s, Point p) {
    return max<real>(getDistanceBetweenPoints(p, s.center) - s.radius, 0);
}

```

```

}

bool Geometry::isPointInsideParallelepiped(Point a, Point v1, Point v2) {
    return a.x <= max(v1.x, v2.x) && a.x >= min(v1.x, v2.x) &&
           a.y <= max(v1.y, v2.y) && a.y >= min(v1.y, v2.y) &&
           a.z <= max(v1.z, v2.z) && a.z >= min(v1.z, v2.z);
}

bool Geometry::doesLineIntersectParallelepiped(Line l, Point p1, Point p2) {
    Plane planePencularToOX(p1, Vector(1, 0, 0));
    Plane planePencularToOY(p1, Vector(0, 1, 0));
    Plane planePencularToOZ(p1, Vector(0, 0, 1));

    Point pX = getPlaneAndLineIntersection2(planePencularToOX, l);
    Point pY = getPlaneAndLineIntersection2(planePencularToOY, l);
    Point pZ = getPlaneAndLineIntersection2(planePencularToOZ, l);

    return (inInterval(pZ.x, p1.x, p2.x) && inInterval(pZ.y, p1.y, p2.y)) ||
           (inInterval(pX.y, p1.y, p2.y) && inInterval(pX.z, p1.z, p2.z)) ||
           (inInterval(pY.x, p1.x, p2.x) && inInterval(pY.z, p1.z, p2.z));
}

bool Geometry::doesParticlesTrajectoryIntersectObject(Particle& p, Object3D &obj) {
    Line line(p, p.speed);
    if (!doesLineIntersectSphere(line, obj))
        return false;
    for (unsigned int i = 0; i < obj.polygons->size(); i++)
        if (doesLineIntersectTriangle(obj.polygons->at(i), line))
            return true;
    return false;
}

// line should intersect sphere
real Geometry::getChordLength(Sphere sphere, Line line) {
    return 2*sqrt(sphere.radius*sphere.radius -
                 pow(getDistanceBetweenPoints(sphere.center,
                                                getPointOnLineProjection(line, sphere.center)),
                    2));
}

Point Geometry::getRandomPointFromTriangle(ThreePoints& tp) {
    return tp.a + ( Vector(tp.a, tp.b)*Time::getRandom() + Vector(tp.a, tp.c)*Time::getRandom() ) * 0.5;
}

bool Geometry::doesLineIntersectSphere(Line l, Sphere s) {
    return getDistanceBetweenPoints(getPointOnLineProjection(l, s.center), s.center) <= s.radius;
}

int Geometry::getIndexOfPolygonThatParicleIntersects(Object3D& obj, Particle& p) {
    Line line(p, p.speed);
    if (!doesLineIntersectSphere(line, obj))
        return -1;
    for (unsigned int i = 0; i < obj.polygons->size(); i++)
        if (doesLineIntersectTriangle(obj.polygons->at(i), line))
            return i;
    return -1;
}

// see explanation at pages 9-10 of draft
Point Geometry::rotatePointAroundLine(Point p, Line l, double angle) {
    Point projection = getPointOnLineProjection(l, p);
    Vector j(projection, p);
    double length = j.length();
    Vector i = j.vectorProduct(l.directionVector).resized(length);
    return projection - i*length*sin(angle) + j*length*cos(angle);
}

```

dr\_program/graphics\_utils.h

```

#ifndef GRAPHICS_UTILS_H
#define GRAPHICS_UTILS_H

#include <SDL/SDL.h>
#include <GL/gl.h>
#include <GL/glu.h>
#include <cstdlib>
#include "types.h"
#include <utility>

```

```

namespace Graphics {
    extern Point viewerPosition;

    extern int width;
    extern int height;

    extern bool isLMousePressed;
    extern bool drawAxes;
    extern double rotationAngles[2];
    extern float zoomFactor;

    void initGraphics(int, int);
    void draw(Object3D&, Particle*, int);
    void quitGraphics(int);
}

#endif // GRAPHICS_UTILS_H

```

dr\_program/graphics\_utils.cpp

```

#include "graphics_utils.h"

Point Graphics::viewerPosition(0,0,0);
int Graphics::width = 0;
int Graphics::height = 0;
float Graphics::zoomFactor = 1.0;
bool Graphics::isLMousePressed = false;
double Graphics::rotationAngles[2] = {0,0};
bool Graphics::drawAxes = false;

void Graphics::initGraphics(int _width, int _height) {
    height = _height;
    width = _width;
    if(SDL_Init(SDL_INIT_VIDEO) < 0) {
        cerr << "Video initialization failed: " << SDL_GetError() << endl;
        quitGraphics(1);
    }

    const SDL_VideoInfo* info = NULL;
    info = SDL_GetVideoInfo();
    if(!info) {
        cerr << "getting video info failed: " << SDL_GetError() << endl;
        quitGraphics(1);
    }

    SDL_GL_SetAttribute(SDL_GL_RED_SIZE,5);
    SDL_GL_SetAttribute(SDL_GL_GREEN_SIZE,5);
    SDL_GL_SetAttribute(SDL_GL_BLUE_SIZE,5);
    SDL_GL_SetAttribute(SDL_GL_DEPTH_SIZE,16);
    SDL_GL_SetAttribute(SDL_GL_DOUBLEBUFFER,1);

    int bitsPerPixel = info->vfmt->BitsPerPixel;
    int flags = SDL_OPENGL | SDL_HWSURFACE | SDL_ASYNCBLIT | SDL_RESIZABLE;
    if(SDL_SetVideoMode(width,height,bitsPerPixel,flags) == 0) {
        cerr << "setting video mode failed: " << SDL_GetError() << endl;
        quitGraphics(1);
    }

    glShadeModel(GL_SMOOTH);

    glCullFace(GL_BACK);
    glFrontFace(GL_CCW);
    glEnable(GL_CULL_FACE);

    glViewport(0, 0, width, height);

    glPointSize(1.5);
}

void Graphics::quitGraphics(int code) {
    SDL_Quit();
    exit(code);
}

void Graphics::draw(Object3D &satelliteObj, Particle* particlesArray = NULL, int
particlesNumber = 0)
{
    // colors
    static GLubyte purple[] = {255,150,255,0};
    // static GLubyte grey[] = {150,150,150,0};
    static GLubyte red[] = {255,0,0,0};
    static GLubyte green[] = {0,255,0,0};
}

```

```

static GLubyte blue[] = {0,0,255,0};

glClearColor(255,255,255,0);
glClear(GL_COLOR_BUFFER_BIT | GL_DEPTH_BUFFER_BIT);

// Projections matrix processing
static float ratio = (float)width/(float)height;
static double diameter = satelliteObj.radius*2;
static GLdouble zNear = ELECTRONS_GENERATIVE_SPHERE_RADIUS*2;
static GLdouble zFar = -ELECTRONS_GENERATIVE_SPHERE_RADIUS*2;
static GLdouble left = satelliteObj.center.x - diameter;
static GLdouble right = satelliteObj.center.x + diameter;
static GLdouble bottom = satelliteObj.center.y - diameter;
static GLdouble top = satelliteObj.center.y + diameter;
static bool firstTimeCall = true;

if (firstTimeCall) {
    firstTimeCall = false;
    viewerPosition.z = -1.5*diameter;
    if (ratio < 1.0) { // width < height
        bottom /= ratio;
        top /= ratio;
    } else {
        left *= ratio;
        right *= ratio;
    }
}

glMatrixMode(GL_PROJECTION);
glLoadIdentity();
glOrtho(left*zoomFactor, right*zoomFactor, bottom*zoomFactor, top*zoomFactor, zNear, zFar);

// Modelview matrix processing
glMatrixMode(GL_MODELVIEW);
glLoadIdentity();
/* Move down the z-axis. */
gluLookAt(viewerPosition.x, viewerPosition.y, viewerPosition.z,
           satelliteObj.center.x, satelliteObj.center.y, satelliteObj.center.z,
           0.0, 1.0, 0.0);

/* Rotation by mouse */
if (rotationAngles[0])
    glRotated(rotationAngles[0], 0, 1, 0);
if (rotationAngles[1])
    glRotated(rotationAngles[1], 1, 0, 0);

// draw axes:
if (drawAxes) {
    glBegin(GL_LINES);
    glColor4ubv(red); glVertex3d(0,0,0); glVertex3d(1.5*diameter,0,0);
    glColor4ubv(green); glVertex3d(0,0,0); glVertex3d(0,1.5*diameter,0);
    glColor4ubv(blue); glVertex3d(0,0,0); glVertex3d(0,0,1.5*diameter);
    glEnd();
}

// draw the particles
if (particlesArray != NULL) {
    glBegin(GL_POINTS);
    for(int i = 0; i < particlesNumber; ++i) {
        if (particlesArray[i].behaviour == PARTICLE_WILL_INTERSECT_OBJ) {
            glColor4ubv(green);
        } else {
            glColor4ubv((particlesArray[i].type == PTYPE_ELECTRON)? blue: red); // this
                will colorize electrons to blue, ions to red
        }

        if (particlesArray[i].getPreviousStates()->size() != 0) {
            glBegin(GL_LINE_STRIP);
            for(auto it = particlesArray[i].getPreviousStates()->begin();
                it != particlesArray[i].getPreviousStates()->end(); ++it)
                glVertex3f((*it).x, (*it).y, (*it).z);
            glVertex3f(particlesArray[i].x, particlesArray[i].y, particlesArray[i].z);
            glEnd();
        } else {
            glVertex3f(particlesArray[i].x, particlesArray[i].y, particlesArray[i].z);
        }
    }
    glEnd();
}
}

```

```

    // draw the object
    glColor4ubv(purple);
    vector<PlaneType> *coords = satelliteObj.polygons;
    for(vector<PlaneType>::iterator it = coords->begin(); it != coords->end(); it++) {
        glBegin(GL_LINE_LOOP);
        for(int i = 0; i < 3; i++)
            glVertex3d((*it).set[i].x, (*it).set[i].y, (*it).set[i].z);
        glEnd();
    }
    SDL_GL_SwapBuffers();
}

```

## dr\_program/time\_utils.h

```

#ifndef TIME_UTILS_H
#define TIME_UTILS_H

#include <unistd.h>
#include <ctime>
#include <cstdlib>
#include <iostream>
#include <random>
#include <functional>
#include <iomanip>
#include "constants.h"

using namespace std;

#define RAND(n) rand() % n

extern int CLOCK_ID;

typedef uniform_real_distribution<double> UniformDistribution;
typedef normal_distribution<double> GaussianDistribution;

typedef mt19937 Engine;

template <typename Eng, typename Distrib>
class Generator {
private:
    Eng engine;
    Distrib distribution;
public:
    Generator(Eng e, Distrib d): engine(e), distribution(d) {}
    double operator() () {
        return distribution(engine);
    }
};

typedef Generator<Engine, UniformDistribution> UniformDistributionGenerator;
typedef Generator<Engine, GaussianDistribution> GaussianDistributionGenerator;
typedef function<velocity ()> MaxwellDistributionSpeedGenerator;

namespace Time {
    void printTimespec(timespec*);

    UniformDistributionGenerator getUniformDistributionGenerator(double, double);
    GaussianDistributionGenerator getGaussianDistributionGenerator(double, double);
    MaxwellDistributionSpeedGenerator getMaxwellDistributionSpeedGenerator(double, double);

    timespec* getTimespecDelta(timespec*, timespec*);

    double getRandom();

    double getRandom(double, double);
}

#endif // TIME_UTILS_H

```

## dr\_program/time\_utils.cpp

```

#include "time_utils.h"

int CLOCK_ID = CLOCK_THREAD_CPUTIME_ID;

void Time::printTimespec(timespec *ts) {
    cout << ts->tv_sec << '.' << std::setfill('0') << std::setw(9) << ts->tv_nsec << " sec"
    << endl;
}

timespec* Time::getTimespecDelta(timespec *older, timespec *newer) {
    newer->tv_nsec -= older->tv_nsec;
}

```

```

    newer->tv_sec -= older->tv_sec;
    if (newer->tv_nsec < 0) {
        newer->tv_sec--;
        newer->tv_nsec += 1000000000;
    }
    return newer;
}

double Time::getRandom() {
    static random_device seed;
    static UniformDistributionGenerator* generator =
        new UniformDistributionGenerator(Engine(seed()), UniformDistribution(0,1));
    return (*generator)();
}

double Time::getRandom(double left, double right) {
    return getRandom()*(right - left) + left;
}

UniformDistributionGenerator Time::getUniformDistributionGenerator(double min, double max) {
    static random_device seed;
    return UniformDistributionGenerator(Engine(seed()), UniformDistribution(min,max));
}

GaussianDistributionGenerator Time::getGaussianDistributionGenerator(double M, double D) {
    static random_device seed;
    return GaussianDistributionGenerator(Engine(seed()), GaussianDistribution(M,D));
}

MaxwellDistributionSpeedGenerator Time::getMaxwellDistributionSpeedGenerator(double M, double
D) {
    return [M,D]() -> velocity {
        //TODO check for M, D
        static GaussianDistributionGenerator gdg = getGaussianDistributionGenerator(M/
sqrt(3.0), D/sqrt(3.0));
        return sqrt(pow(gdg(),2) + pow(gdg(),2) + pow(gdg(),2));
    };
}

```

## dr\_program/types.h

```

#ifndef TYPES_H
#define TYPES_H

#include <iostream>
#include <string>
#include <stdexcept>
#include <cmath>
#include <vector>
#include <list>
#include <cstring>
#include <assert.h>

#include "types.h"
#include "constants.h"
#include "geometry_utils.h"
#include "time_utils.h"

using namespace std;

struct Point;
struct Plane;
struct Vector;
struct OrientedPlane;
struct Object3D;
struct Particle;

typedef OrientedPlane PlaneType;

extern Point POINT_OF_ORIGIN; // (0,0,0)

// flags for particle states
const int PARTICLE_WILL_INTERSECT_OBJ = 1;
const int PARTICLE_WILL_NOT_INTERSECT_OBJ = 2;
const int PARTICLE_HAS_UNDEFINED_BEHAVIOUR = 4;
//extern unsigned int PARTICLE_WILL_;

// system of coordinates orientation
#define ORIENT_RIGHT_HANDED 1
#define ORIENT_LEFT_HANDED 0

// order - clockwise or counterclockwise
#define ORDER_CW 1

```

```

#define ORDER_CCW 0

// generation flags
enum genFlags {GEN_ON_SPHERE = 1, GEN_IN_SPHERE = 2, GEN_RANDOM = 4, GEN_INTERSECT_OBJ = 8};

void setOrientation(bool);
bool getOrientation();

template <typename T>
inline char sign(T t) {
    return (t > 0)? 1: (t < 0)? -1: 0;
}

template <typename T>
inline bool inInterval(T x,T a,T b) {
    return x <= max(a,b) && x >= min(a,b);
}

class ZeroNormal: public runtime_error {
public:
    ZeroNormal(char *msg): runtime_error(string(msg)) {}
    ZeroNormal(string &msg): runtime_error(msg) {}
};

struct Point {
    real x;
    real y;
    real z;

    Point(): x(0),y(0),z(0) {}
    Point(real _x, real _y, real _z): x(_x),y(_y),z(_z) {}
    Point(const Point &p) {x = p.x;y = p.y;z = p.z;}

    Point operator+(Vector v);
    Point operator-(Vector v);
    friend ostream& operator<<(ostream &os, const Point &p) {
        os << '(' << p.x << ', ' << p.y << ', ' << p.z << ')';
        return os;
    }
    bool operator==(Point a) const {
        return (x == a.x && y == a.y && z == a.z);
    }
    bool operator!=(Point b) const {
        return !(*this == b);
    }
    Point rotateAroundZ(double cos,double sin) {
        return Point(x*cos - y*sin,x*sin + y*cos,z);
    }
    Point rotateAroundY(double cos,double sin) {
        return Point(x*cos + z*sin,y,-x*sin + z*cos);
    }
    real& operator[](int i) {
        switch(i % 3) {
            case 0: return x;
            case 1: return y;
            case 2: return z;
            default: assert(false);
        }
    }
};

struct Vector: public Point {
    Vector(): Point() {}
    Vector(Point p): Point(p) {}
    Vector(real _x, real _y, real _z): Point(_x,_y,_z) {}
    Vector(Point b,Point a): Point(a.x - b.x,a.y - b.y,a.z - b.z) {}

    real operator*(Vector right) {
        return x*right.x + y*right.y + z*right.z;
    }
    Vector operator*(double k) {
        return Vector(k*x,k*y,k*z);
    }
    Vector operator/(double k) {
        return Vector(x/k,y/k,z/k);
    }
    Vector operator+(Vector v) {
        return Vector(x + v.x,y + v.y, z + v.z);
    }
    Vector operator-(Vector v) {
        return Vector(x - v.x,y - v.y, z - v.z);
    }
};

```



```

    }
    real length() {
        return sqrt(x*x + y*y + z*z);
    }
    double cos(Vector right) {
        return ((*this)*right)/((this->length()*right.length()));
    }
    Vector vectorProduct(Vector left) {
        return Vector(y*left.z - z*left.y, -x*left.z +
                      z*left.x, x*left.y - y*left.x);
    }
    Vector normalized() {
        double len = length();
        return Vector(x/len, y/len, z/len);
    }
    Vector resized(real _length) {
        double coef = _length/length();
        if (std::isnan(coef))
            return Vector(x, y, z);
        return Vector(x*coef, y*coef, z*coef);
    }
    void resize(real _length) {
        double coef = _length/length();
        if (!std::isnan(coef)) {
            x *= coef;
            y *= coef;
            z *= coef;
        }
    }
};

template <unsigned int T>
struct Locus { // collection of points
    Point set[T];
    friend ostream& operator<<(ostream &os, const Locus &l) {
        for(unsigned int i = 0; i < T - 1; i++)
            os << l.set[i] << ", ";
        os << l.set[T - 1];
        return os;
    }

    virtual ~Locus() {
    }
};

struct Line: public Locus<2> {
    Vector directionVector;
    Line(Point _a, Point _b): a(set[0]), b(set[1]) {
        set[0] = _a; set[1] = _b;
        directionVector = Vector(_a, _b);
    }
    Line(Point _a, Vector v): a(set[0]), b(set[1]) {
        directionVector = v;
        set[0] = _a;
        set[1] = _a + v;
    }
    Point& a;
    Point& b;
    Point pointByCoef(real coef) {
        return Point(set[0].x + coef*directionVector.x,
                     set[0].y + coef*directionVector.y,
                     set[0].z + coef*directionVector.z);
    }
};

struct ThreePoints : public Locus<3> {
    ThreePoints(): a(set[0]), b(set[1]), c(set[2]) {}
    ThreePoints(const ThreePoints &tP): a(set[0]), b(set[1]), c(set[2]) {
        set[0] = tP.set[0]; set[1] = tP.set[1]; set[2] = tP.set[2];
    }
    ThreePoints(Point _a, Point _b, Point _c): a(set[0]), b(set[1]), c(set[2]) {
        set[0] = _a; set[1] = _b; set[2] = _c;
    }
    ThreePoints& operator=(const ThreePoints& right) {
        if (this != &right) {
            memcpy(set, right.set, 3*sizeof(Point));
        }
        return *this;
    }
};

```

```

    Point& a;
    Point& b;
    Point& c;
    virtual Vector getNormal() {
        return Vector(a,b).vectorProduct(Vector(a,c));
    }

    Point centerOfMass() {
        return Point( (a.x + b.x + c.x) / 3.0,
                      (a.y + b.y + c.y) / 3.0,
                      (a.z + b.z + c.z) / 3.0);
    }

    double area() {
        Vector ab(a,b), ac(a,c);
        return 0.5*sqrt(1 - pow(ab.cos(ac),2))*ab.length()*ac.length();
    }
};

struct Triangle: public ThreePoints {
    Triangle(Point _a,Point _b,Point _c): ThreePoints(_a,_b,_c) {}
    Triangle(ThreePoints &tP): ThreePoints(tP) {}
};

struct Plane: public ThreePoints {
    Plane(): ThreePoints() {}
    Plane(Point _a,Point _b,Point _c): ThreePoints(_a,_b,_c) {}
    Plane(ThreePoints &tP): ThreePoints(tP) {}
    Plane(Point, Vector);
    bool doesPointBelongPlane(Point p) {
        /// TODO fix possible error because of mashine precision
        return Vector(a,p)*getNormal() == 0;
    }
};

struct OrientedPlane: public Plane {
    Vector normal;
    OrientedPlane(): Plane(), normal() {}
    OrientedPlane(Point _a,Point _b,Point _c, bool _pointsOrder = ORDER_CCW):
        Plane(_a,_b,_c), _pointsOrder(_pointsOrder) {
        initNormal();
    }
    OrientedPlane(ThreePoints &tP, bool _pointsOrder = ORDER_CCW):
        Plane(tP), _pointsOrder(_pointsOrder) {
        initNormal();
    }
    OrientedPlane(Plane p, Vector v): Plane(p), normal(v) {}
    OrientedPlane(Point p, Vector v): Plane(p,v), normal(v) {}
    OrientedPlane(const OrientedPlane &op): Plane((ThreePoints&)op),
        normal(op.normal) {}
    Vector getNormal() {
        return normal;
    }
};

private:
    bool pointsOrder;
    void initNormal() {
        Vector ab(a,b);
        Vector ac(a,c);
        // get cross product
        normal = ab.vectorProduct(ac);
        if (pointsOrder == ORDER_CW) {
            normal = normal*(-1);
        }
        double test1 = normal.length(), test2 = area();
        if (std::isnan(test1) || std::isnan(test2) || test1 < 0.0000001 || test2 < 0.0000001) {
            throw ZeroNormal("zero-normal");
        }
    }
};

struct Particle: public Point {
public:
    list<Point> *previousStates;
    static double electronTrajectoryCurrent;
    static double ionTrajectoryCurrent;
    char type;
    Vector speed;
};

```

```

real ttl;
int polygonIndex;
int behaviour;
Particle operator+(Vector v);
Particle operator-(Vector v);
Particle(char _type = PTYPE_ELECTRON, int _flags = PARTICLE_HAS_UNDEFINED_BEHAVIOUR):
    Point(), type(_type), speed(), ttl(-1), polygonIndex(-1), behaviour(_flags) {
    previousStates = NULL;
}
Particle(Point p, Vector s, real ttl_ = -1, char _type = PTYPE_ELECTRON, int _pi = -1,
    int _flags = PARTICLE_HAS_UNDEFINED_BEHAVIOUR):
    Point(p), type(_type), speed(s), ttl(ttl_), polygonIndex(_pi), behaviour(_flags) {
    previousStates = NULL;
}
void affectField(Vector fieldGrad, double timeStep) {
    Vector distance = speed*timeStep + fieldGrad*(timeStep*timeStep*
        PARTICLE_CHARGE_TO_MASS(type)/2); ///!! +, not -
    Point newPosition = *(Point*)this + distance;
    x = newPosition.x;
    y = newPosition.y;
    z = newPosition.z;
    Vector acceleration = fieldGrad*(PARTICLE_CHARGE_TO_MASS(type)); ///!! +, not -
    speed = speed + acceleration*timeStep;
}

void addPreviousStates(Point p) {
    if (previousStates == NULL)
        initPreviousStates();
    previousStates->push_back(p);
}

list<Point*> getPreviousStates() {
    if (previousStates == NULL)
        initPreviousStates();
    return previousStates;
}

void finalize() {
    if (previousStates != NULL)
        delete previousStates;
}

private:
void initPreviousStates() {
    previousStates = new list<Point*>();
}
};

struct Sphere {
    Point center;
    real radius;
    Sphere(): center(), radius(0) {}
    Sphere(Point _p, real _r): center(_p), radius(_r) {}
    Sphere(const Sphere &_s): center(_s.center), radius(_s.radius) {}
};

struct Object3D: public Sphere {
    double totalPlasmaCurrent;
    long double totalCharge;
    Vector front;
    Point maxCoords, minCoords;
    Point nearestPoint, furthestmostPoint; // relatively to front of the object
    vector<PlaneType> *polygons;
    velocity speed;
    // double *polygonsCurrents;

    Object3D(int polygonsNumber, Vector _front = Vector(100,0,0)): front(_front) {
        polygons = new vector<PlaneType>(polygonsNumber);
        init();
    }
    Object3D(vector<PlaneType> *_polygons, Vector _front = Vector(100,0,0)):
        front(_front), polygons(_polygons) {
        init();
    }

    void init();

    PlaneType& operator[(int i)] {
        return polygons->at(i);
    }
}

```

```

Vector step() {
    return front.normalized()*speed;
}

double surfaceArea() {
    double sA = 0.0;
    for(vector<PlaneType>::iterator it = polygons->begin(); it != polygons->end(); ++it) {
        sA += (*it).area();
    }
    return sA;
}

double capacitance() {
    // calculating capacitance as for sphere with the same radius
    return 4*M_PI*VACUUM_PERMITTIVITY*sqrt(surfaceArea()/(4*M_PI));
}

void changePlasmaCurrents(double change) {
    // polygonsCurrents[polygonIndex] += change;
    totalPlasmaCurrent += change;
}

~Object3D() {
    // delete polygonsCurrents;
}

};

struct GenerativeSphere: public Sphere {
private:
    void checkForIntersectionsAndSetTtl(Particle&);
    velocity electronVelocityGenerator() {
        static MaxwellDistributionSpeedGenerator generator =
            Time::getMaxwellDistributionSpeedGenerator(ELECTRON_VELOCITY_M,
                ELECTRON_VELOCITY_D);
        return generator();
    }
    velocity ionVelocityGenerator() {
        static MaxwellDistributionSpeedGenerator generator =
            Time::getMaxwellDistributionSpeedGenerator(ION_VELOCITY_M, ION_VELOCITY_D);
        return generator();
    }
    Object3D &object;
    Vector objectStep;

public:
    GenerativeSphere(Point _p, real _r, Object3D &_object):
        Sphere(_p, _r), object(_object), objectStep(object.step()) {}
    GenerativeSphere(const Sphere &_s, Object3D &_object):
        Sphere(_s), object(_object), objectStep(object.step()) {}

    void generateParticleInSphere(Particle *,int);
    void generateParticleWhichIntersectsObject(Particle *,int,bool);
    void generateParticleOnSphere(Particle *,int);
    void populateArray(Particle*,int,int,int);
};

#endif // TYPES_H

```

## dr\_program/types.cpp

```

#include "types.h"
#include <assert.h>

Point POINT_OF_ORIGIN = Point(0,0,0);

double Particle::electronTrajectoryCurrent;
double Particle::ionTrajectoryCurrent;

Point Point::operator+(Vector v) {
    return Point(x + v.x, y + v.y, z + v.z);
}

Point Point::operator-(Vector v) {
    return Point(x - v.x, y - v.y, z - v.z);
}

Particle Particle::operator+(Vector v) {
    Point newPosition = (Point)(*this) + v;
    x = newPosition.x;
    y = newPosition.y;
    z = newPosition.z;
}

```

```

    return (*this);
}

Particle Particle::operator-(Vector v) {
    Point newPosition = (Point)(*this) - v;
    x = newPosition.x;
    y = newPosition.y;
    z = newPosition.z;
    return (*this);
}

Plane::Plane(Point p, Vector v):
    ThreePoints(p, p + Geometry::getRandomOrthogonalVector(v),
                p + Geometry::getRandomOrthogonalVector(v)) {}

void GenerativeSphere::checkForIntersectionsAndSetTtl(Particle &p) {
    p.polygonIndex = Geometry::getIndexOfPolygonThatParticleIntersects(object, p);
    if (p.polygonIndex != -1) {
        p.ttl = Geometry::getDistanceBetweenPoints(p,
            Geometry::getPlaneAndLineIntersection2(object.polygons->at(p.polygonIndex), Line(
                p, p.speed))) / p.speed.length();
    } else { // see description at page 11 of the draft
        p.ttl = 2*radius*p.speed.cos(Vector(p, center)) / p.speed.length();
    }
}

void GenerativeSphere::generateParticleInSphere(Particle *p, int type) {
    Point initialPosition = Geometry::getRandomPointFromSphere2(*this);
    Vector step(Time::getRandom() - 0.5, Time::getRandom() - 0.5, Time::getRandom() - 0.5);
    switch(type) {
        case PTYPE_ELECTRON:
            step = step.resized(electronVelocityGenerator()) - objectStep;
            break;
        case PTYPE_ION:
            step = step.resized(ionVelocityGenerator()) - objectStep;
            break;
    }

    *p = Particle(initialPosition, step, 0, type);
    checkForIntersectionsAndSetTtl(*p);
}

void GenerativeSphere::generateParticleWhichIntersectsObject(Particle *pt, int type, bool
isParticleOnSphere) {
    int polygonIndex = RAND(object.polygons->size());
    Vector n = object.polygons->at(polygonIndex).getNormal().normalized();
    velocity = particleSpeed;

    switch(type) {
        case PTYPE_ELECTRON:
            particleSpeed = electronVelocityGenerator();
            break;
        case PTYPE_ION:
            particleSpeed = ionVelocityGenerator();
            break;
    }

    Point p = Geometry::getRandomPointFromTriangle(object.polygons->at(polygonIndex));
    Line auxLine(p, (object.polygons->at(polygonIndex).a != p)?
        object.polygons->at(polygonIndex).a : object.polygons->at(polygonIndex).
        b);

    // see explanation at page 2 of draft
    if (particleSpeed <= -object.speed*n.cos(objectStep)) {
        particleSpeed = Time::getRandom(max<velocity>(0.1, -object.speed*n.cos(objectStep))
            , 2.*ELECTRON_VELOCITY_M); // TODO fix me
    }

    double cos = Time::getRandom(-1, min<velocity>(1, object.speed*n.cos(objectStep))/
        particleSpeed);
    // see explanation at page 8 of draft
    Vector s(p, Geometry::rotatePointAroundLine(p + n, auxLine, acos(cos)));
    s = s.resized(particleSpeed) - objectStep;

    real distanceBetweenParticleAndPolygon;
    if (isParticleOnSphere) {
        // now we should calculate point on sphere where particle will be initially placed
        // see explanation at page 1 of draft
        real a = Geometry::getDistanceBetweenPoints(center, p);
        cos = Vector(center, p).cos(s);
        distanceBetweenParticleAndPolygon = sqrt(a*a*(cos*cos - 1) + radius*radius) + a*cos;
    }
}

```

```

        // now p is point on sphere
        p = p - s.resized(distanceBetweenParticleAndPolygon);

        //assert (abs(radius - GU::getDistanceBetweenPoints(p,center)) <= 0.00001);
    } else {
        // see explanation at page 5 of draft
        distanceBetweenParticleAndPolygon = sqrt(Time::getRandom(object.radius, radius)*
            radius);
        p = p - s.resized(distanceBetweenParticleAndPolygon);
    }

    *pt = Particle(p,s,distanceBetweenParticleAndPolygon/particleSpeed,type,polygonIndex);
}

void GenerativeSphere::generateParticleOnSphere(Particle *p,int type) {
    Point initialPosition = Geometry::getRandomPointOnSphere(*this);
    Vector step(initialPosition,Geometry::getRandomPointOnSphere(*this));

    switch(type) {
    case PTYPE_ELECTRON:
        step = step.resized(electronVelocityGenerator()) - objectStep;
        break;
    case PTYPE_ION:
        step = step.resized(ionVelocityGenerator()) - objectStep;
        break;
    }

    *p = Particle(initialPosition,step,0,type);
    checkForIntersectionsAndSetTtl(*p);
}

void GenerativeSphere::populateArray(Particle *particles,int number,int type,int FLAGS) {
    int n = 0;
    bool isOnSphere = FLAGS & GEN_ON_SPHERE;
    if (FLAGS & GEN_INTERSECT_OBJ)
        for(;n < number;++n) {
            generateParticleWhichIntersectsObject(particles + n,type,isOnSphere);
        }
    else if (FLAGS & GEN_RANDOM)
        for(;n < number;++n) {
            generateParticleInSphere(particles + n,type);
        }
    else if (isOnSphere)
        for(;n < number;++n) {
            generateParticleOnSphere(particles + n,type);
        }
}

void Object3D::init() {
    totalPlasmaCurrent = 0;
    totalCharge = 0;
    speed = ORBITAL_VELOCITY;
    assert(polygons->size() > 0);
    nearestPoint = furthestmostPoint = maxCoords = minCoords = polygons->at(0).set[0];
    for(vector<PlaneType>::iterator it = polygons->begin(); it != polygons->end(); it++)
        for(int i = 0; i < 3; i++) {
            if (Vector(nearestPoint,(*it).set[i]).cos(front) > 0)
                nearestPoint = (*it).set[i];
            if (Vector(furthestmostPoint,(*it).set[i]).cos(front) < 0)
                furthestmostPoint = (*it).set[i];

            if (maxCoords.x < (*it).set[i].x) maxCoords.x = (*it).set[i].x;
            if (maxCoords.y < (*it).set[i].y) maxCoords.y = (*it).set[i].y;
            if (maxCoords.z < (*it).set[i].z) maxCoords.z = (*it).set[i].z;
            if (minCoords.x > (*it).set[i].x) minCoords.x = (*it).set[i].x;
            if (minCoords.y > (*it).set[i].y) minCoords.y = (*it).set[i].y;
            if (minCoords.z > (*it).set[i].z) minCoords.z = (*it).set[i].z;
        }
    center = Point((maxCoords.x + minCoords.x)/2,
        (maxCoords.y + minCoords.y)/2,
        (maxCoords.z + minCoords.z)/2);
    radius = Geometry::getDistanceBetweenPoints(center,maxCoords);
    // polygonsCurrents = new double[polygons->size()];
    // for(unsigned int i = 0; i < polygons->size(); ++i) {
    //     polygonsCurrents[i] = 0;
    // }

    // move the spacecraft to the point of origin

```

```

Vector shift(center, POINT_OF_ORIGIN);
if (shift.length() > radius) {
    for(vector<PlaneType>::iterator it = polygons->begin(); it != polygons->end(); it++)
        for(int i = 0; i < 3; i++) {
            (*it).set[i] = (*it).set[i] + shift;
        }
    // and reinit
    init();
}
}

```

## dr\_program/main.cpp

```

#include <unistd.h>
#include <cmath>
#include <algorithm>
#include <cstdio>
#include <vector>
#include <errno.h>
#include <unistd.h>
#include <assert.h>
#include <limits>
#include <pthread.h>
#include <signal.h>

#include "types.h"
#include "file_utils.h"
#include "geometry_utils.h"
#include "constants.h"
#include "data_utils.h"
#include "graphics_utils.h"
#include "fortran_modules.h"

#define rand(max) rand()%max

const char usage[] = "Usage:\n\nprogram [OPTIONS] <filename>\n\n
-t NUMBER - test probability with number of particles NUMBER\n\n
-r RADIUS - radius of generative sphere [not used]\n\n
-s TIME - time to sleep in microseconds\n\n
-m - model particles\n\n
-o NUM - modeling type; 1, 2 or 3\n\n
    1 - modeling without field affecting\n\n
    2 - (default) most optimized modeling\n\n
    3 - modeling best applicable for drawing\n\n
-v - verbose mode\n\n
-d - draw\n\n
-j - draw trajectories of particles\n\n
-a - draw axes\n\n
-c CHARGE - initial charge of spacecraft (default -0.0000005)\n\n
-f SF - scale factor for coordinates in file to reduce them to SI\n\n
    (default 1)\n\n
-n N - total number of particles at time momentn\n\n
-i INTERVAL - interval to print measurements\n\n
    (use 'i' prefix for number of steps or 's' for seconds)\n\n
-p STEP - step of particle measured in spacecrafts length\n\n
    (default 0.25)\n\n
-x - file with complex data format\n\n
-h NUM - number of posix threads (default 1)\n";

namespace Globals {
    unsigned long long realToModelNumber;
    long double initialCharge = -0.0000005; // -0.00000445;
    bool debug = true;
    bool pause = false;
    bool drawTrajectories = false;
    int modelingType = 2;
    unsigned int threadNum = 1;
}

static void handleKeyDown(SDL_keysym* keysym)
{
    switch(keysym->sym) {
        case SDLK_ESCAPE:
            Graphics::quitGraphics(0);
            break;
        case SDLK_p:
            Globals::pause = !Globals::pause;
            break;
        default:
            break;
    }
}

```

```

    }
}

void processEvents(void)
{
    /* Our SDL event placeholder. */
    SDL_Event event;
    float zoomDelta = 0.05;
    float zoomDelta2 = 0.5;

    /* Grab all the events off the queue. */
    while(SDL_PollEvent(&event)) {
        switch(event.type) {
            case SDL_KEYDOWN:
                handleKeyDown( &event.key.keysym );
                break;
            case SDL_QUIT:
                /* Handle quit requests (like Ctrl-c). */
                Graphics::quitGraphics(0);
                break;
            case SDL_MOUSEBUTTONDOWN:
                switch(event.button.button) {
                    case SDL_BUTTON_LEFT:
                        Graphics::isLMousePressed = true;
                        break;
                    case SDL_BUTTON_WHEELDOWN:
                        if (Graphics::zoomFactor > 2*zoomDelta)
                            Graphics::zoomFactor -= (Graphics::zoomFactor > 2)? zoomDelta2:
                                zoomDelta;
                        break;
                    case SDL_BUTTON_WHEELUP:
                        Graphics::zoomFactor += (Graphics::zoomFactor > 2)? zoomDelta2: zoomDelta;
                        break;
                }
                break;
            case SDL_MOUSEBUTTONUP:
                if (event.button.button == SDL_BUTTON_LEFT)
                    Graphics::isLMousePressed = false;
                break;
            case SDL_MOUSEMOTION:
                if (Graphics::isLMousePressed) {
                    double coef = 0.5;
                    Graphics::rotationAngles[0] += -event.motion.xrel*coef;
                    Graphics::rotationAngles[0] -= 360*int(Graphics::rotationAngles[0]/360);
                    Graphics::rotationAngles[1] += -event.motion.yrel*coef;
                    Graphics::rotationAngles[1] -= 360*int(Graphics::rotationAngles[1]/360);
                }
        }
    }
}

// for internal usage only
inline void finalizeParticle(Object3D &satelliteObj, Particle* particles,
    unsigned long long &electronsNumber, unsigned long long &
    ionsNumber, int i) {
    if (particles[i].behaviour == PARTICLE_WILL_INTERSECT_OBJ) {
        satelliteObj.totalCharge += PARTICLE_CHARGE(particles[i].type)*Globals::
            realToModelNumber;
        Globals::debug && COUT("charge delta = " << PARTICLE_CHARGE(particles[i].type)*
            Globals::realToModelNumber << ", totalCharge = " << satelliteObj.totalCharge);
        satelliteObj.changePlasmaCurrents((particles[i].type == PTYPE_ELECTRON)?
            Particle::electronTrajectoryCurrent:
            Particle::ionTrajectoryCurrent);
    }

    switch(particles[i].type) {
        case PTYPE_ELECTRON:
            electronsNumber--;
            break;
        case PTYPE_ION:
            ionsNumber--;
            break;
    }

    particles[i].finalize();
}

namespace Globals {
    struct _Env { // struct used in pthreads
        Object3D *satelliteObj;
        GenerativeSphere *electronsGenerativeSphere;
    };
}

```



```

        GenerativeSphere *ionsGenerativeSphere;
        double timeStep;
    } env;
}

void* processParticlesArray(void *_args) { // function to call in pthread; Globals::env
    should be filled
    pair<Particle*, unsigned long long> *args = (pair<Particle*, unsigned long long>*) _args;
    Particle *particles = args->first;
    unsigned long long num = args->second;
    // COUT("num = " << num);
    Object3D &satelliteObj = *Globals::env.satelliteObj;
    double timeStep = Globals::env.timeStep;
    Vector fieldGrad;
    real fieldPot;

    for(unsigned long long i = 0; i < num; ++i) {
        GenerativeSphere *gs = (particles[i].type == PTYPE_ELECTRON)? Globals::env.
            electronsGenerativeSphere: Globals::env.ionsGenerativeSphere;
        if (Geometry::getDistanceBetweenPoints(gs->center, particles[i]) > gs->radius) { //
            kick particle if it has left the modeling sphere
            particles[i].ttl = -1;
            continue;
        }

        if (Globals::drawTrajectories)
            particles[i].addPreviousStates(particles[i]);

        //

        if (Globals::modelingType == 1) { // modeling without affecting of field
            //

            // if for some reason particle has left generative sphere - remove it
            if (particles[i].behaviour == PARTICLE_HAS_UNDEFINED_BEHAVIOUR) {
                real index = Geometry::getIndexOfPolygonThatParticleIntersects(satelliteObj,
                    particles[i]);
                if (index == -1) {
                    particles[i].behaviour = PARTICLE_WILL_NOT_INTERSECT_OBJ;
                    particles[i].ttl = 100; // particle will be kicked
                } else {
                    particles[i].behaviour = PARTICLE_WILL_INTERSECT_OBJ;
                    particles[i].ttl = Geometry::getDistanceBetweenPointAndPlane(
                        satelliteObj.polygons->at(index), particles[i]) /
                        particles[i].speed.length();
                }
            }
            particles[i] = particles[i] + particles[i].speed*timeStep;
            particles[i].ttl -= timeStep;
            //

        } else if (Globals::modelingType == 2) { // most optimized modeling
            //

            if (particles[i].behaviour == PARTICLE_WILL_INTERSECT_OBJ || particles[i].
                behaviour == PARTICLE_WILL_NOT_INTERSECT_OBJ) {
                particles[i] = particles[i] + particles[i].speed*timeStep;
                particles[i].ttl -= timeStep;
            } else { // particles[i].behaviour == PARTICLE_HAS_UNDEFINED_BEHAVIOUR
                real distanceToSatellite = Geometry::getDistanceBetweenPointAndSphere(
                    satelliteObj, particles[i]);
                int index;

                if (distanceToSatellite == 0 || // if particle is inside satellite's sphere
                    or too close to sphere and will be inside it soon
                    (distanceToSatellite < particles[i].speed.length()*timeStep &&
                     Geometry::doesLineIntersectSphere(Line(particles[i], particles[i].
                         speed), satelliteObj))) {
                    index = Geometry::getIndexOfPolygonThatParticleIntersects(satelliteObj,
                        particles[i]);
                    if (index != -1) { // then particle will intersect object
                        particles[i].behaviour = PARTICLE_WILL_INTERSECT_OBJ;
                        particles[i].ttl = Geometry::getDistanceBetweenPointAndPlane(
                            satelliteObj.polygons->at(index), particles[i]) /
                            particles[i].speed.length();
                        Globals::debug && COUT("particle will intersect object, ttl = " <<
                            particles[i].ttl << ", timestep = " << timeStep << ", steps = "

```

```

        << particles[i].ttl/timeStep <<" , behaviour = " << particles[i].
        behaviour);
    } continue;
} else { // then particle will not intersect object
    particles[i].behaviour = PARTICLE_WILL_NOT_INTERSECT_OBJ;
    particles[i].ttl = 100; // particle will be kicked
}
} else {
    real distanceToCenterOfSatellite = Geometry::getDistanceBetweenPoints(
        satelliteObj.center , particles[i]);
    resultf_(particles + i,&fieldPot,&fieldGrad); // get gradient of field
    in the current point
    real electricField = satelliteObj.totalCharge/(4*M_PI*
        VACUUM_PERMITTIVITY*distanceToCenterOfSatellite*
        distanceToCenterOfSatellite);
    fieldGrad.resize(electricField); // resize gradient vector according to
    current satellite charge by formula 1 in the draft
    particles[i].affectField(fieldGrad,timeStep);
    index = Geometry::getIndexOfPolygonThatParicleIntersects(satelliteObj ,
        particles[i]);
    if (index == -1 && sign(PARTICLE_CHARGE(particles[i].type)) == sign(
        satelliteObj.totalCharge)) {
        // particle will be repeled by satellite
        particles[i].behaviour = PARTICLE_WILL_NOT_INTERSECT_OBJ;
        particles[i].ttl = 100; // particle will be kicked
    } else if (index != -1 && sign(PARTICLE_CHARGE(particles[i].type)) == -
        sign(satelliteObj.totalCharge)) {
        // particle will intersect satellite
        particles[i].behaviour = PARTICLE_WILL_INTERSECT_OBJ;
        particles[i].ttl = Geometry::getDistanceBetweenPointAndPlane(
            satelliteObj.polygons->at(index) , particles[i]) /
            particles[i].speed.length();
        Globals::debug && COUT("particle will intersect satellite , ttl = "
            << particles[i].ttl <<" , timestep = " << timeStep << " , steps = "
            << particles[i].ttl/timeStep <<" , behaviour = " << particles[i]
            ].behaviour);
    }
}
}
//
} else { // modeling best applicable for drawing
//


---


if (particles[i].behaviour == PARTICLE_WILL_INTERSECT_OBJ) {
    particles[i] = particles[i] + particles[i].speed*timeStep;
    particles[i].ttl -= timeStep;
} else { // particles[i].behaviour == PARTICLE_HAS_UNDEFINED_BEHAVIOUR
    real distanceToSatellite = Geometry::getDistanceBetweenPointAndSphere(
        satelliteObj , particles[i]);
    int index;
    if (distanceToSatellite == 0 || // if particle is inside satellite's sphere
        or too close to sphere and will be inside it soon
        (distanceToSatellite < particles[i].speed.length()*timeStep &&
        Geometry::doesLineIntersectSphere(Line(particles[i] , particles[i].
        speed) , satelliteObj))) {
        index = Geometry::getIndexOfPolygonThatParicleIntersects(satelliteObj ,
            particles[i]);
        if (index != -1) { // then particle will intersect object
            particles[i].behaviour = PARTICLE_WILL_INTERSECT_OBJ;
            particles[i].ttl = Geometry::getDistanceBetweenPointAndPlane(
                satelliteObj.polygons->at(index) , particles[i]) /
                particles[i].speed.length();
            Globals::debug && COUT("particle will intersect object , ttl = " <<
                particles[i].ttl <<" , timestep = " << timeStep << " , steps = "
                << particles[i].ttl/timeStep <<" , behaviour = " << particles[i].
                behaviour);
        }
    } else {
        real distanceToCenterOfSatellite = Geometry::getDistanceBetweenPoints(
            satelliteObj.center , particles[i]);
        resultf_(particles + i,&fieldPot,&fieldGrad); // get gradient of field
        in the current point
        real electricField = satelliteObj.totalCharge/(4*M_PI*
            VACUUM_PERMITTIVITY*distanceToCenterOfSatellite*
            distanceToCenterOfSatellite);
        fieldGrad.resize(electricField); // resize gradient vector according to

```

```

        current satellite charge by formula 1 in the draft
        particles[i].affectField(fieldGrad,timeStep);
    }
}
//

} // end of modelling branch
} // end of for loop
return NULL;
}

int processParticles(Object3D &satelliteObj, Particle* particles,
                    unsigned long long &electronsNumber, unsigned long long &ionsNumber,
                    double timeStep, GenerativeSphere electronsGenerativeSphere,
                    GenerativeSphere ionsGenerativeSphere) {

    Globals::env.electronsGenerativeSphere = &electronsGenerativeSphere;
    Globals::env.ionsGenerativeSphere = &ionsGenerativeSphere;
    Globals::env.satelliteObj = &satelliteObj;
    Globals::env.timeStep = timeStep;

    if(Globals::threadNum == 1) {
        pair<Particle*, unsigned long long> args(particles, electronsNumber + ionsNumber);
        processParticlesArray(&args);
    } else {
        pthread_t *threads = new pthread_t[Globals::threadNum];
        int particlesPerThread = ceil(1.0*(electronsNumber + ionsNumber)/Globals::threadNum);
        ;
        int firtsParticleForCurrentThread = 0;
        int threadsStarted = 0;
        // COUT
        // ("-----");
        // COUT("num = " << electronsNumber+ionsNumber);
        pair<Particle*, unsigned long long> **threadArgs = new pair<Particle*, unsigned long
            long>*[Globals::threadNum];
        for(; threadsStarted < Globals::threadNum; ++threadsStarted) {
            if (firtsParticleForCurrentThread >= electronsNumber + ionsNumber)
                break;
            threadArgs[threadsStarted] =
                new pair<Particle*, unsigned long long>(particles +
                    firtsParticleForCurrentThread,
                        min(electronsNumber + ionsNumber
                            firtsParticleForCurrentThread
                                , (unsigned long long)
                                    particlesPerThread));
            assert(pthread_create(threads + threadsStarted, NULL, processParticlesArray,
                threadArgs[threadsStarted]) == 0);
            firtsParticleForCurrentThread += particlesPerThread;
        }

        // wait for all threads
        for(int t = 0; t < threadsStarted; ++t)
            pthread_join(threads[t], NULL);

        // clean threads args
        for(int t = 0; t < threadsStarted; ++t)
            delete threadArgs[t];

        delete threadArgs;
        delete threads;
    }

    // checking all particles excluding the last one
    int finalizedNumber = 0;
    unsigned long long end = electronsNumber + ionsNumber;
    for(unsigned long long i = 0; i < end; i++) {
        if (particles[i].ttl <= 0) {
            if (particles[i].behaviour == PARTICLE_WILL_INTERSECT_OBJ)
                ++finalizedNumber;
            finalizeParticle(satelliteObj, particles, electronsNumber, ionsNumber, i);
            if (i != end - 1)
                memcpy(particles + i, particles + end - 1, sizeof(Particle));
            end--;
        } else {
            ++i;
        }
    }
    return finalizedNumber;
}

```

```

}

int main(int argc, char** argv) {
    srand(time(NULL));
    cout.precision(16);
    cout.setf(ios::fixed, ios::floatfield);

    // process arguments
    int c;
    bool modelingFlag = false;
    bool verboseFlag = false;
    bool drawFlag = false;
    char *filename = NULL;
    int testProbabilityCount = -1;
    int generativeSphereRadius = -1;
    int sleepTime = 0; //microsecond
    double printInterval = 10000.0;
    double intervalInSteps = true;
    double distanceStepCoef = 0.25;
    unsigned long long averageParticlesNumber = 10000;
    float complexDataFileFlag = false;

    while ((c = getopt (argc, argv, "vdjamxgt:r:s:f:t:n:i:p:o:c:h:")) != -1) {
        switch(c) {
            case 'a':
                Graphics::drawAxes = true;
                break;
            case 't':
                testProbabilityCount = atoi(optarg);
                break;
            case 'r':
                generativeSphereRadius = atoi(optarg);
                break;
            case 'f':
                File::scaleFactor = atof(optarg);
                break;
            case 's':
                sleepTime = atoi(optarg);
                break;
            case 'n':
                averageParticlesNumber = atoll(optarg);
                break;
            case 'd':
                drawFlag = true;
                break;
            case 'j':
                Globals::drawTrajectories = true;
                break;
            case 'v':
                verboseFlag = true;
                break;
            case 'm':
                modelingFlag = true;
                break;
            case 'x':
                complexDataFileFlag = true;
                break;
            case 'p':
                distanceStepCoef = atof(optarg);
                break;
            case 'o':
                Globals::modelingType = atoi(optarg);
                break;
            case 'c':
                Globals::initialCharge = strtold(optarg, NULL);
                break;
            case 'h':
                Globals::threadNum = atoi(optarg);
                assert(Globals::threadNum >= 1);
                break;
            case 'i':
                if(optarg[0] == 'i')
                    { printInterval = atof(optarg + 1); intervalInSteps = true; }
                else if (optarg[0] == 's')
                    { printInterval = atof(optarg + 1); intervalInSteps = false; }
                break;
            case '?:
            default:
                EXIT_ERR(usage);
        }
    }
}

```

```

}
if (optind == argc) {
    EXIT_ERR(usage);
}
filename = argv[optind];
//if (generativeSphereRadius < 0) generativeSphereRadius =
    DEFAULT_GENERATIVE_SPHERE_RADIUS;

/*-----*/
// getting coordinates from file
vector<PlaneType> *coordinatesList;
if (complexDataFileFlag) {
    coordinatesList = File::getCoordinatesFromSpecialFile(filename);
} else {
    coordinatesList = File::getCoordinatesFromPlainFile(filename);
}
assert(coordinatesList != NULL);

// creating object using coordinates
Object3D satelliteObj(coordinatesList);
satelliteObj.totalCharge = Globals::initialCharge;

GenerativeSphere electronsGenerativeSphere(satelliteObj.center,
                                              ELECTRONS_GENERATIVE_SPHERE_RADIUS,
                                              satelliteObj);
GenerativeSphere ionsGenerativeSphere(satelliteObj.center,
                                         IONS_GENERATIVE_SPHERE_RADIUS,
                                         satelliteObj);

double electronsToIonsRatio = 1.*pow(ELECTRONS_GENERATIVE_SPHERE_RADIUS,3)*
    ELECTRONS_CONSISTENCE/
    (pow(IONS_GENERATIVE_SPHERE_RADIUS,3)*IONS_CONSISTENCE);
unsigned long long averageElectronsNumber = electronsToIonsRatio*averageParticlesNumber
    /(electronsToIonsRatio + 1);
unsigned long long averageIonsNumber = averageParticlesNumber/(electronsToIonsRatio +
    1);
Particle::electronTrajectoryCurrent =
    4*M_PI*pow(electronsGenerativeSphere.radius,2)*ELECTRON_CURRENT_DENSITY /
    averageElectronsNumber;
Particle::ionTrajectoryCurrent =
    4*M_PI*pow(ionsGenerativeSphere.radius,2)*ION_CURRENT_DENSITY /
    averageIonsNumber;

verboseFlag && COUT("electron trajectory current: " << Particle::
    electronTrajectoryCurrent);
verboseFlag && COUT("ion trajectory current: " << Particle::ionTrajectoryCurrent);
Globals::realToModelNumber = 4.0/3.0*M_PI*pow(ELECTRONS_GENERATIVE_SPHERE_RADIUS,3)
    *ELECTRONS_CONSISTENCE/averageElectronsNumber;

verboseFlag && COUT("real number/modeln number: " << Globals::realToModelNumber);

if (testProbabilityCount > 0) {
    // allocating memory for particles array
    verboseFlag && PRINTLN("memory allocation");
    Particle *particlesArray = (Particle*)calloc(testProbabilityCount, sizeof(Particle));

    verboseFlag && COUT("memory usage: " << testProbabilityCount*sizeof(Particle)
        /(1024*1024.0) << " MB");
    verboseFlag && PRINTLN("particles generation");
    electronsGenerativeSphere.populateArray(particlesArray, testProbabilityCount,
        PTYPE_ELECTRON, GEN_RANDOM);

    int intersectionsCounter = 0;
    verboseFlag && PRINTLN("checking for intersections");
    for(int j = 0; j < testProbabilityCount; ++j) {
        if (Geometry::doesParticlesTrajectoryIntersectObject(particlesArray[j],
            satelliteObj))
            ++intersectionsCounter;
        verboseFlag && (!(j%(testProbabilityCount/20 + 1))) && PRINT('.');
    }
    verboseFlag && PRINTLN("");
    if (verboseFlag) {
        COUT("percentage: " << intersectionsCounter << "/" << testProbabilityCount
            << " = " << intersectionsCounter/double(testProbabilityCount)*100 << "%");
    } else {
        cout << intersectionsCounter/double(testProbabilityCount) << endl;
    }
    free(particlesArray);
}

```

```

Particle *particlesArray = NULL;
double timeStep = 0;
unsigned long long maxParticlesNumber = averageParticlesNumber*1.5;
unsigned long long maxElectronsNumber = electronsToIonsRatio*maxParticlesNumber/(
    electronsToIonsRatio + 1);
unsigned long long maxIonsNumber = maxParticlesNumber/(electronsToIonsRatio + 1);
unsigned long long electronsNumber;
unsigned long long ionsNumber;

GaussianDistributionGenerator electronsNumberGenerator =
    Time::getGaussianDistributionGenerator(averageElectronsNumber,
        averageElectronsNumber*0.05);
GaussianDistributionGenerator ionsNumberGenerator =
    Time::getGaussianDistributionGenerator(averageIonsNumber, averageIonsNumber*0.05)
;
if (modelingFlag) {
    verboseFlag && PRINTLN("particles array initialization...");
    verboseFlag && COUT("memory will be allocated: " << maxParticlesNumber*sizeof(
        Particle)/pow(1024.,2) << " MB");
    electronsNumber = averageElectronsNumber;
    ionsNumber = averageIonsNumber;
    particlesArray = (Particle*)malloc(maxParticlesNumber*sizeof(Particle));
    verboseFlag && COUT("average number of electrons: " << electronsNumber << ", ions: "
        << ionsNumber);
    verboseFlag && COUT("number of particles: " << electronsNumber + ionsNumber << endl
        << " initialization ...");

    electronsGenerativeSphere.populateArray(particlesArray, electronsNumber,
        PTYPE_ELECTRON, GEN_ON_SPHERE);
    ionsGenerativeSphere.populateArray(particlesArray + electronsNumber, ionsNumber,
        PTYPE_ION, GEN_ON_SPHERE);

    double distanceStep = satelliteObj.radius*2.0*distanceStepCoef;
    timeStep = distanceStep/ELECTRON_VELOCITY_M; // time to do step for particle with
        average velocity
    verboseFlag && COUT("distanceStep: " << distanceStep << "; timeStep: " << timeStep);
}

verboseFlag && COUT("polygons: " << satelliteObj.polygons->size());
verboseFlag && COUT("center: " << satelliteObj.center);
verboseFlag && COUT("radius: " << satelliteObj.radius);
verboseFlag && COUT("capacitance: " << satelliteObj.capacitance());

// video mode initialization
if (drawFlag) {
    // set appropriate OpenGL & properties SDL
    int width = 1200;
    int height = 900;
    Graphics::initGraphics(width, height);
}

timespec start, stop, *delta;
int framesCount = 0;
double seconds = 0;
int frames = 0;

// ----- main program loop -----
unsigned long long newElectronsNumber = min<unsigned long long>(electronsNumberGenerator
    (), maxElectronsNumber);
unsigned long long newIonsNumber = min<unsigned long long>(ionsNumberGenerator(),
    maxIonsNumber);
double elapsedTime = 0.0;
double timeToPrint = printInterval;
double spacecraftCapacitance = satelliteObj.capacitance();
double surfaceCharge;
unsigned long long numberOfIntersections = 0;
if (drawFlag || modelingFlag) {
    if (modelingFlag && Globals::modelingType != 1) {
        solveBoundaryProblem(coordinatesList, verboseFlag); // solve using fortran module
    }
    while(true) {
        if (drawFlag) {
            processEvents();

            clock_gettime(CLOCK_ID,&start);
            Graphics::draw(satelliteObj, particlesArray, electronsNumber + ionsNumber);
            clock_gettime(CLOCK_ID,&stop);

            delta = Time::getTimespecDelta(&start, &stop);
            ++frames;

```

```

seconds += delta->tv_sec + delta->tv_nsec/pow(10,9);
if (seconds >= 1) {
    framesCount += frames;
    verboseFlag && COUT(frames/seconds << " fps; frames drawn: " <<
        framesCount);
    seconds = frames = 0;
}

}

if (Globals::pause)
    continue;

if (modelingFlag) {
    numberOfIntersections += processParticles(satelliteObj, particlesArray,
        electronsNumber,
        ionsNumber, timeStep,
        electronsGenerativeSphere,
        ionsGenerativeSphere);

    elapsedTime += timeStep;
    timeToPrint -= ((intervalInSteps)? 1: timeStep);
    surfaceCharge = satelliteObj.totalPlasmaCurrent*elapsedTime;
    if (timeToPrint <= 0) {
        cout << satelliteObj.totalPlasmaCurrent << " " << surfaceCharge << " "
            << surfaceCharge/spacecraftCapacitance
            << " " << elapsedTime << " " << numberOfIntersections*Globals::
                realToModelNumber << " " << satelliteObj.totalCharge
            << " " << electronsNumber << " " << ionsNumber << endl; // "
            " << realEN << " " << realIN << endl;
        (timeToPrint = printInterval);
    }
    // producing new particles if necessary
    if (electronsNumber < newElectronsNumber) {
        electronsGenerativeSphere.populateArray(particlesArray + electronsNumber
            + ionsNumber,
            newElectronsNumber - electronsNumber,
            PTYPE_ELECTRON, GEN_ON_SPHERE);
        electronsNumber = newElectronsNumber;
        newElectronsNumber = min<unsigned long long>(electronsNumberGenerator(),
            maxElectronsNumber);
    }
    if (ionsNumber < newIonsNumber) {
        ionsGenerativeSphere.populateArray(particlesArray + electronsNumber +
            ionsNumber,
            newIonsNumber - ionsNumber, PTYPE_ION,
            GEN_ON_SPHERE);
        ionsNumber = newIonsNumber;
        newIonsNumber = min<unsigned long long>(ionsNumberGenerator(),
            maxIonsNumber);
    }
}

sleepTime && usleep(sleepTime);
}

}

if (particlesArray != NULL) {
    free(particlesArray);
}

Graphics::quitGraphics(0);
return 0;
}

```